

ZMĚNA	DATUM	POZNÁMKA

zhotovitel:	Ing. Michal Kubalík STATIKA POZEMNÍCH STAVEB	adresa: Jarníkova 1872/20, 148 00 Praha 4 - Chodov tel.: 777 891 331 e-mail: michalkubalik@seznam.cz
-------------	--------------------------------------------------------	------------------------------------------------------------------------------------------------------------

název stavby:	VODOJEM A ATS - REKONSTRUKCE Dolní Slivno	
investor:	Vodovody a kanalizace Mladá Boleslav, a.s. Čechova 1151, 293 22 Mladá Boleslav	č.paré:
zodp. projektant:	Ing. Michal Kubalík	
část dokumentace:	SO 02.1 - STATICKÁ ČÁST	
stup. dokumentace:	DUR/DSP/DPS	datum: 3/2017
název přílohy:	STATICKÝ VÝPOČET	číslo přílohy: D.2.1.9

Obsah	strana
1. Úvod	1
1.1 Identifikační údaje	1
1.2 Podklady	1
1.3 Normy navrhování	2
1.4 Technické pomůcky	2
1.5 Výpočetní technika a programy	2
1.6 Popis výpočtu konstrukce	2
2. Návrh a posouzení konstrukcí	3
2.1 Zatížení střechy	3
2.2 Návrh a posouzení krokve	3
2.3 Návrh a posouzení vaznice	5
2.4 Návrh a posouzení pozednice	7
2.5 Zatížení zděnou stěnou	9
2.6 Zatížení klinker fasádou	9
2.7 Zatížení desky nad stávajícím vodojemem	9
2.8 Návrh a posouzení desky nad stávajícím vodojemem	10
2.9 Návrh a posouzení ŽB trámu na konci desky	12
2.10 Návrh a posouzení ŽB trámu konzoly	15
2.11 Návrh a posouzení konzoly pro vynesení klinker fasády	18
2.12 Návrh a posouzení podzemní stěny	20
2.13 Zatížení železobetonovou stěnou	22
2.14 Návrh a posouzení základové desky	22
2.15 Stanovení minimální únosnosti zeminy v základové spáře	25
2.16 Návrh a posouzení excentrického uložení zděné stěny	25
3. Návrh a posouzení opěrné stěny	26

1. Úvod

1.1 Identifikační údaje:

Stavba: Vodojem a ATS - rekonstrukce
Místo stavby: Dolní Slivno
Investor: Vodovody a kanalizace Mladá Boleslav, a.s.
Čechova 1151, 293 22 Mladá Boleslav

1.2 Podklady

Projektové podklady: Rozpracovaná stavební část projektu, Vodohospodářské inženýrské služby a.s., Křížová 472/47,
150 00 Praha 5, únor 2017

1.3 Normy navrhování

ČSN EN 1990	Zásady navrhování konstrukcí
ČSN EN 1991-1-1	Zatížení konstrukcí, Část 1-1: Obecná zatížení - objemové tíhy, vlastní tíha a užitná zatížení pozemních staveb
ČSN EN 1991-1-3	Zatížení konstrukcí, Část 1-3: Obecná zatížení – Zatížení sněhem
ČSN EN 1992-1-1	Navrhování betonových konstrukcí – Část 1-1: Obecná pravidla a pravidla pro pozemní stavby
ČSN EN 1995-1-1	Navrhování dřevěných konstrukcí, Část 1-1: Obecná pravidla - Společná pravidla a pravidla pro pozemní stavby
ČSN EN 1996-1-1	Navrhování zděných konstrukcí, Část 1-1: Obecná pravidla pro pozemní stavby – Pravidla pro vyztužené a nevyztužené zděné konstrukce
ČSN EN 1997-1	Navrhování geotechnických konstrukcí – Část 1: Obecná pravidla
ČSN 73 6133	Návrh a provádění zemního tělesa pozemních komunikací
ČSN 73 1001	Základová půda pod plošnými základy
ČSN 73 0037	Zemní tlak na stavební konstrukce
ČSN EN 206	Beton - Specifikace, vlastnosti, výroba a shoda
ČSN EN 10080	Ocel pro výztuž do betonu - Svařitelná betonářská ocel - Všeobecně
ČSN 73 1204	Navrhování betonových deskových konstrukcí působících ve dvou směrech
ČSN EN 338	Konstrukční dřevo - Třídy pevnosti

1.4 Technické pomůcky

- TP 51 J. Hořejší, J. Šafka: Statické tabulky, SNTL, Praha 1987
- Klepáčová, Kufner: Stavební mechanika 40 - Příklady staticky neurčitých konstrukcí, Vydavatelství ČVUT, Praha 1996
- Z.Bittnar, J.Šejnoha: Numerické metody mechaniky, Vydavatelství ČVUT, Praha 1996
- Hela, Kláblena, Krátký, Procházka, Štěpánek, Vácha, Betonové průmyslové podlahy, EBS, Praha 2006
- www.wienerberger.cz, Technické podklady pro navrhování keramického zdiva a stropu Porotherm

1.5 Výpočetní technika a programy

- Vlastní tabulky pro dimenzování konstrukcí podle výše uvedených norem v programu Microsoft Excel.

1.6 Popis výpočtu konstrukce

Kategorie návrhové životnosti: **4** budovy a další běžné stavby

Informativní návrhová životnost: **50 let**

Mezní stavy únosnosti:

EQU	představuje ztrátu statické rovnováhy konstrukce nebo její části uvažované jako tuhé těleso, při které menší kolísání hodnoty zatížení nebo prostorového rozdělení zatížení je významné, a kde pevnosti materiálů konstrukce nebo základové půdy většinou nejsou významné;
STR	představuje případ vnitřního porušení nebo nadměrného přetvoření konstrukce nebo nosných prvků, kde rozhoduje pevnost materiálů konstrukce;
GEO	je případ poruchy či nadměrného přetvoření základové půdy, při kterém pevnost zeminy a hornin je podstatná pro zajištění únosnosti;
FAT	představuje případ únavového porušení konstrukce nebo nosných prvků.

Popis výpočtu:

Ve statickém výpočtu jsou navrženy a posouzeny typické prvky horní konstrukce objektu pro mezní stav únosnosti (STR) a na mezní stav použitelnosti.

Pro návrh základové desky je uvažován výpočetní model nekonečně dlouhý a polonekonečný nosník na pružném podkladě. Řešení nosníku spočívajících na pružném podloží je založeno na předpokladu tzv. Winklerova pružného předpokladu, že napětí, jímž podloží působí na nosník, je v jeho jednotlivých místech přímo úměrné zatlačení.

2. Návrh a posouzení konstrukcí

2.1 Zatížení střechy

Skladba střechy	tloušťka	objemová tíha	charakteristické	γ_G	návrhové
krytina			0,55 kN/m ²	1,35	0,74 kN/m ²
laťování			0,05 kN/m ²	1,35	0,07 kN/m ²
prkenný záklop	0,030	6,00	= 0,18 kN/m ²	1,35	0,24 kN/m ²
tíha konstrukce			0,25 kN/m ²	1,35	0,34 kN/m ²
izolace	0,200	1,00	= 0,20 kN/m ²	1,35	0,27 kN/m ²
sádkrokarton	0,013	8,50	= 0,11 kN/m ²	1,35	0,15 kN/m ²
g₁ celkem stálé zatížení - šikmý průmět			1,34 kN/m ²	1,35	1,81 kN/m ²
g celkem stálé zatížení - svislý průmět	1,34	/ cos 34°	= 1,62 kN/m ²	1,35	2,18 kN/m ²
Užitné zatížení			charakteristické	γ_Q	návrhové
q užitné zatížení	kategorie H	nepřístupná střecha	0,75 kN/m ²	1,50	1,13 kN/m ²
Zatížení sněhem					
Tvarový součinitel pro pultové a sedlové střechy v případě pokud není bráněno sklouzávání sněhu ze střechy					
sklon střechy	$\alpha = 34,00^\circ$	$\mu_1 = 0,69$			
Součinitel expozice	Typ krajiny: normální	$C_e = 1,00$			
	Tepelný součinitel	$C_t = 1,00$			
Charakteristická hodnota zatížení sněhem na zemi			oblast: 2	$s_k = 1,00$ kN/m ²	
	μ_i	C_e	C_t	s_k	γ_Q
s sníh	0,69	1,00	1,00	1,00	= 0,69 kN/m ²
					1,50
					1,04 kN/m ²
rozhodující je užitné zatížení					
f celkové zatížení - svislý průmět			2,37 kN/m ²	1,40	3,31 kN/m ²

2.2 Návrh a posouzení krokve

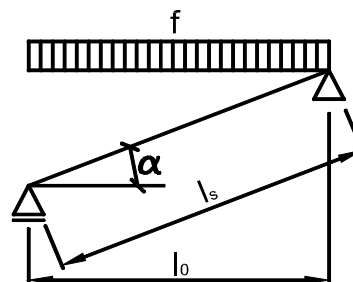
Zatížení	Kombinace zatížení jako méně příznivá kombinace z následujících dvou výrazů				
	$\gamma_G = 1,35$	$\gamma_Q = 1,50$	$\psi_{0,1} = 0,70$	$\xi_1 = 0,85$	
Kombinace 1	γ_Q	$\psi_{0,1}$	=	1,50	0,70
				=	1,05
	zatěžovací šířka				γ_G
g₁ stálé zatížení	1,62	0,90	=	1,46 kN/m	1,35
					$\gamma_Q \cdot \psi_{0,1}$
q₁ proměnné zatížení	0,75	0,90	=	0,68 kN/m	1,05
					0,71 kN/m
f₁ celkové zatížení				2,13 kN/m	1,25
					2,67 kN/m
Kombinace 2	ξ_1	γ_G	=	0,85	1,35
				=	1,15
	zatěžovací šířka				$\xi_1 \cdot \gamma_G$
g₂ stálé zatížení	1,62	0,90	=	1,46 kN/m	1,15
					1,67 kN/m
					γ_Q
q₂ proměnné zatížení	0,75	0,90	=	0,68 kN/m	1,50
					1,01 kN/m
f₂ celkové zatížení				2,13 kN/m	1,26
					2,68 kN/m

Rozhodující kombinace:

kombinace 2

Schéma konstrukce

rozpětí konstrukce $l_0 = 3,50 \text{ m}$
úhel sklonu $\alpha = 34^\circ$
délka nosníku $l_s = 4,22 \text{ m}$



Vnitřní síly a reakce

$M =$	$1/8 \cdot f \cdot l_0^2$		
$M_g =$	$1/8 \cdot 1,46 \cdot 3,50^2 =$	$2,23 \text{ kNm}$	$1,15 = 2,56 \text{ kNm}$
$M_q =$	$1/8 \cdot 0,68 \cdot 3,50^2 =$	$1,03 \text{ kNm}$	$1,50 = 1,55 \text{ kNm}$

celkový moment $M_f = 3,26 \text{ kNm}$ $1,26$ $4,11 \text{ kNm}$

$R =$	$1/2 \cdot f \cdot l_0$		
$R_g =$	$1/2 \cdot 1,46 \cdot 3,50 =$	$2,55 \text{ kN}$	$1,15 = 2,92 \text{ kN}$
$R_q =$	$1/2 \cdot 0,68 \cdot 3,50 =$	$1,18 \text{ kN}$	$1,50 = 1,77 \text{ kN}$

celková reakce $R_f = 3,73 \text{ kN}$ $1,26$ $4,69 \text{ kN}$

$N =$	$R \cdot \sin \alpha$		
$N_g =$	$2,55 \cdot \sin 34^\circ =$	$1,42 \text{ kN}$	$1,15 = 1,63 \text{ kN}$
$N_q =$	$1,18 \cdot \sin 34^\circ =$	$0,66 \text{ kN}$	$1,50 = 0,99 \text{ kN}$

celková normálová síla $N_f = 2,08 \text{ kN}$ $1,26$ $2,62 \text{ kN}$

$V =$	$R \cdot \cos \alpha$		
$V_g =$	$2,55 \cdot \cos 34^\circ =$	$2,11 \text{ kN}$	$1,15 = 2,42 \text{ kN}$
$V_q =$	$1,18 \cdot \cos 34^\circ =$	$0,98 \text{ kN}$	$1,50 = 1,47 \text{ kN}$

celková posouvající síla $V_f = 3,09 \text{ kN}$ $1,26$ $3,89 \text{ kN}$

Pružné deformace

$$w_g = \frac{5}{48} \cdot \frac{M_g}{E} \cdot \frac{l_s^2}{I} = \frac{5}{48} \cdot \frac{2,23}{10,00} \cdot \frac{4,22^2}{66,67}$$

$$w_g = 6,2 \text{ mm}$$

$$w_q = \frac{5}{48} \cdot \frac{M_q}{E} \cdot \frac{l_s^2}{I} = \frac{5}{48} \cdot \frac{1,03}{10,00} \cdot \frac{4,22^2}{66,67}$$

$$w_q = 2,9 \text{ mm}$$

Zatížení moment k ose y $M_{yd} = 4,11 \text{ kNm}$ posouvající síla $V_d = 3,89 \text{ kN}$

Prostředí - třída provozu

2

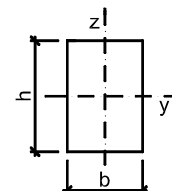
Třída trvání zatížení

střednědobé

Návrh průřezu a dřeva

Dřevo typ dřeva **rostlé dřevo** $E_{0,mean} = 10,00 \text{ GPa}$ $f_{m,k} = 22,00 \text{ MPa}$
třída dřeva **C22** $E_{0,05} = 6,70 \text{ GPa}$ $f_{v,k} = 2,40 \text{ MPa}$
modifikační součinitel $k_{mod} = 0,80$ $\gamma_M = 1,30$

Průřez šířka průřezu $b = 100 \text{ mm}$
výška průřezu $h = 200 \text{ mm}$
plocha $A = 20,00 \cdot 10^3 \cdot \text{mm}^2$
moment setrvačnosti $I_y = 66,67 \cdot 10^6 \cdot \text{mm}^4$
průřezový modul $W_y = 666,67 \cdot 10^3 \cdot \text{mm}^3$



Geometrie délka nosníku $l = 4,22 \text{ m}$

délka nosníku nezajištěná proti příčné a torzní nestabilitě

$l_t = 0,00 \text{ m}$

Podmínky

klopení zajištěné

Posouzení - MSÚ - Ohyb s příčnou a torzní stabilitou

Součinitel příčné a torzní stability

typ nosníku **prostě podepřený**

typ zatížení **spojité zatížení**

$$k_{crit} = 1,00$$

Návrhové pevnosti

$$f_{m,d} = \frac{k_{mod} \cdot f_{m,k}}{\gamma_M} = \frac{0,80 \cdot 22,00}{1,30} = 13,54 \text{ MPa}$$

$$\frac{M_{y,d}}{k_{crit} \cdot W_y \cdot f_{m,d}} = \frac{4,11}{1,00 \cdot 666,67 \cdot 13,54} = 0,46 < 1,00$$

vyhovuje

Posouzení - MSP - Deformace

Okamžitý průhyb od stálých zatížení

$$w_{inst,g} = 6,2 \text{ mm}$$

Okamžitý průhyb od proměnného zatížení

$$w_{inst,q} = 2,9 \text{ mm}$$

Celkový okamžitý průhyb

$$w_{inst,f} = 9,1 \text{ mm}$$

součinitel pro kvazistatou hodnotu proměnného zatížení:

střecha

$$\psi_{2,q} = 0,0$$

modifikační součinitel deformace

$$k_{def} = 0,80$$

Okamžitý průhyb

$$w_{inst,f} = 9,1 \text{ mm} < w_{lim,inst} = \frac{l}{300} = \frac{4222}{300} = 14,1 \text{ mm}$$

vyhovuje

Konečný průhyb

Konečný průhyb od stálých zatížení

$$w_{fin,g} = w_{inst,g} \cdot \left(1 + k_{def} \right) = 6,2 \cdot (1 + 0,80) = 11,2 \text{ mm}$$

Konečný průhyb od proměnného zatížení

$$w_{fin,q} = w_{inst,q} \cdot \left(1 + \psi_{2,q} \cdot k_{def} \right) = 2,9 \cdot (1 + 0,0 \cdot 0,80) = 2,9 \text{ mm}$$

Celkový konečný průhyb

$$w_{fin,f} = 14,0 \text{ mm}$$

$$w_{fin,f} = 14,0 \text{ mm} < w_{lim,fin} = \frac{l}{250} = \frac{4222}{250} = 16,9 \text{ mm}$$

vyhovuje

2.3 Návrh a posouzení vaznice

Zatížení Kombinace zatížení jako méně příznivá kombinace z následujících dvou výrazů

$$\gamma_G = 1,35$$

$$\gamma_Q = 1,50$$

$$\psi_{0,1} = 0,70$$

$$\xi_1 = 0,85$$

Kombinace 1 $\gamma_Q \cdot \psi_{0,1} = 1,50 \cdot 0,70 = 1,05$

zatěžovací šířka

γ_G

g₁ stálé zatížení

$$1,62 \cdot 2,80 = 4,53 \text{ kN/m}$$

$$1,35 \cdot 6,11 \text{ kN/m}$$

$\gamma_Q \cdot \psi_{0,1}$

q₁ proměnné zatížení

$$0,75 \cdot 2,80 = 2,10 \text{ kN/m}$$

$$1,05 \cdot 2,21 \text{ kN/m}$$

f₁ celkové zatížení

$$6,63 \text{ kN/m}$$

$$1,25 \cdot 8,32 \text{ kN/m}$$

Kombinace 2

$$\xi_1 \cdot \gamma_G = 0,85 \cdot 1,35 = 1,15$$

zatěžovací šířka

$\xi_1 \cdot \gamma_G$

g₂ stálé zatížení

$$1,62 \cdot 2,80 = 4,53 \text{ kN/m}$$

$$1,15 \cdot 5,20 \text{ kN/m}$$

γ_Q

q₂ proměnné zatížení

$$0,75 \cdot 2,80 = 2,10 \text{ kN/m}$$

$$1,50 \cdot 3,15 \text{ kN/m}$$

f₂ celkové zatížení

$$6,63 \text{ kN/m}$$

$$1,26 \cdot 8,35 \text{ kN/m}$$

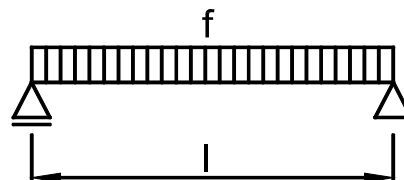
Rozhodující kombinace:

kombinace 2

Schéma konstrukce

rozpětí konstrukce

$l = 3,00 \text{ m}$



Vnitřní síly a reakce

$M =$	$1/8 \cdot f \cdot l^2$						
$M_g =$	$1/8 \cdot 4,53 \cdot 3,00^2$	$=$	$5,09 \text{ kNm}$	$1,15$	$=$	$5,84 \text{ kNm}$	
$M_q =$	$1/8 \cdot 2,10 \cdot 3,00^2$	$=$	$2,36 \text{ kNm}$	$1,50$	$=$	$3,54 \text{ kNm}$	
celkový moment			$M_f =$	$7,46 \text{ kNm}$	$1,26$	$9,39 \text{ kNm}$	
$V =$	$1/2 \cdot f \cdot l$						
$V_g =$	$1/2 \cdot 4,53 \cdot 3,00$	$=$	$6,79 \text{ kN}$	$1,15$	$=$	$7,79 \text{ kN}$	
$V_q =$	$1/2 \cdot 2,10 \cdot 3,00$	$=$	$3,15 \text{ kN}$	$1,50$	$=$	$4,73 \text{ kN}$	
celková posouvající síla a reakce			$V_f =$	$9,94 \text{ kN}$	$1,26$	$12,52 \text{ kN}$	

Pružné deformace

$$w_g = \frac{5}{48} \cdot \frac{M_g}{E} \cdot \frac{l^2}{I} = \frac{5}{48} \cdot \frac{5,09}{10,00} \cdot \frac{3,00^2}{106,48} = 4,5 \text{ mm}$$

$$w_q = \frac{5}{48} \cdot \frac{M_q}{E} \cdot \frac{l^2}{I} = \frac{5}{48} \cdot \frac{2,36}{10,00} \cdot \frac{3,00^2}{106,48} = 2,1 \text{ mm}$$

Zatížení moment k ose y $M_{yd} = 9,39 \text{ kNm}$ posouvající síla $V_d = 12,52 \text{ kN}$

Prostředí - třída provozu

2

Třída trvání zatížení

střednědobé

Návrh průřezu a dřeva

Dřevo typ dřeva **rostlé dřevo** $E_{0,mean} = 10,00 \text{ GPa}$ $f_{m,k} = 22,00 \text{ MPa}$
 třída dřeva **C22** $E_{0,05} = 6,70 \text{ GPa}$ $f_{v,k} = 2,40 \text{ MPa}$
 modifikační součinitel $k_{mod} = 0,80$ $\gamma_M = 1,30$

Průřez

šířka průřezu

$b = 120 \text{ mm}$

výška průřezu

$h = 220 \text{ mm}$

plocha

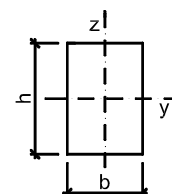
$A = 26,40 \cdot 10^3 \cdot \text{mm}^2$

moment setrvačnosti

$I_y = 106,48 \cdot 10^6 \cdot \text{mm}^4$

průřezový modul

$W_y = 968,00 \cdot 10^3 \cdot \text{mm}^3$



Geometrie

délka nosníku

$l = 3,00 \text{ m}$

Podmínky

délka nosníku nezajištěná proti příčné a torzní nestabilitě

klopení zajištěné

$l_t = 0,00 \text{ m}$

Posouzení - MSÚ - Ohyb s příčnou a torzní stabilitou

Součinitel příčné a torzní stability

typ nosníku **prostě podepřený**

typ zatížení

spojité zatížení

$k_{crit} = 1,00$

Návrhové pevnosti

$$f_{m,d} = \frac{k_{mod} \cdot f_{m,k}}{\gamma_M} = \frac{0,80 \cdot 22,00}{1,30} = 13,54 \text{ MPa}$$

$$\frac{M_{yd}}{k_{crit} \cdot W_y \cdot f_{m,d}} = \frac{9,39}{1,00 \cdot 968,00 \cdot 13,54} = 0,72 < 1,00$$

vyhovuje

Posouzení - MSÚ - Smyk

$$\begin{aligned} \text{součinitel vlivu vysušených trhlín} \quad k_{cr} &= 0,67 \\ \text{efektivní šířka průřezu} \quad b_{ef} &= k_{cr} \cdot b = 0,67 \cdot 120,00 = 80 \text{ mm} \\ \text{efektivní plocha} \quad A_{ef} &= 17,69 \cdot 10^3 \cdot \text{mm}^2 \end{aligned}$$

Návrhové pevnosti

$$\begin{aligned} f_{v,d} &= \frac{k_{mod} \cdot f_{v,k}}{\gamma_M} = \frac{0,80 \cdot 2,40}{1,30} = 1,48 \text{ MPa} \\ \frac{3 \cdot V_d}{2 \cdot A_{ef} \cdot f_{v,d}} &= \frac{3 \cdot 12,52}{2 \cdot 17,69 \cdot 1,48} = 0,72 < 1,00 \end{aligned}$$

vyhovuje

Posouzení - MSP - Deformace

$$\begin{aligned} \text{Okamžitý průhyb od stálých zatížení} \quad w_{inst,g} &= 4,5 \text{ mm} \\ \text{Okamžitý průhyb od proměnného zatížení} \quad w_{inst,q} &= 2,1 \text{ mm} \\ \text{Celkový okamžitý průhyb} \quad w_{inst,f} &= 6,6 \text{ mm} \\ \text{součinitel pro kvazistatou hodnotu proměnného zatížení:} \quad &\text{střecha} \quad \psi_{2,q} = 0,0 \\ \text{modifikační součinitel deformace} \quad k_{def} &= 0,80 \end{aligned}$$

Okamžitý průhyb

$$w_{inst,f} = 6,6 \text{ mm} < w_{lim,inst} = \frac{l}{300} = \frac{3000}{300} = 10,0 \text{ mm}$$

vyhovuje

Konečný průhyb

Konečný průhyb od stálých zatížení

$$w_{fin,g} = w_{inst,g} \cdot \left(1 + k_{def} \right) = 4,5 \cdot (1 + 0,80) = 8,1 \text{ mm}$$

Konečný průhyb od proměnného zatížení

$$w_{fin,q} = w_{inst,q} \cdot \left(1 + \psi_{2,q} \cdot k_{def} \right) = 2,1 \cdot (1 + 0,0 \cdot 0,80) = 2,1 \text{ mm}$$

Celkový konečný průhyb

$$w_{fin,f} = 10,2 \text{ mm} < w_{lim,fin} = \frac{l}{250} = \frac{3000}{250} = 12,0 \text{ mm}$$

vyhovuje

2.4 Návrh a posouzení pozednice

Zatížení Kombinace zatížení jako méně příznivá kombinace z následujících dvou výrazů

$$\gamma_G = 1,35 \quad \gamma_Q = 1,50 \quad \psi_{0,1} = 0,70 \quad \xi_1 = 0,85$$

$$\text{Kombinace 1} \quad \gamma_Q \cdot \psi_{0,1} = 1,50 \cdot 0,70 = 1,05$$

zatěžovací plocha

$$\text{G}_1 \text{ stálé zatížení} \quad 1,62 \cdot 0,70 \cdot 2,80 = 3,17 \text{ kN} \quad \gamma_G = 1,35 \quad 4,28 \text{ kN}$$

$$\text{Q}_1 \text{ proměnné zatížení} \quad 0,75 \cdot 0,70 \cdot 2,80 = 1,47 \text{ kN} \quad \gamma_Q \cdot \psi_{0,1} = 1,05 \quad 1,54 \text{ kN}$$

$$\text{F}_1 \text{ celkové zatížení} \quad 4,64 \text{ kN} \quad 1,25 \quad 5,82 \text{ kN}$$

$$\text{Kombinace 2} \quad \xi_1 \cdot \gamma_G = 0,85 \cdot 1,35 = 1,15$$

$$\text{G}_2 \text{ stálé zatížení} \quad 3,17 \text{ kN} \quad \xi_1 \cdot \gamma_G = 1,15 \quad 3,64 \text{ kN}$$

$$\text{Q}_2 \text{ proměnné zatížení} \quad 1,47 \text{ kN} \quad \gamma_Q = 1,50 \quad 2,21 \text{ kN}$$

$$\text{F}_2 \text{ celkové zatížení} \quad 4,64 \text{ kN} \quad 1,26 \quad 5,84 \text{ kN}$$

Rozhodující kombinace:

kombinace 2

Schéma konstrukce

délka konstrukce

$l = 0,90 \text{ m}$



Vnitřní síly a reakce

$M =$	$F \cdot l$					
$M_g =$	$3,17 \cdot 0,90$	$=$	$2,85 \text{ kNm}$	$1,15$	$=$	$3,27 \text{ kNm}$
$M_q =$	$1,47 \cdot 0,90$	$=$	$1,32 \text{ kNm}$	$1,50$	$=$	$1,98 \text{ kNm}$
celkový moment		$M_f =$	$4,18 \text{ kNm}$	$1,26$		$5,26 \text{ kNm}$
$V =$	F					
$V_g =$	$3,17$	$=$	$3,17 \text{ kN}$	$1,15$	$=$	$3,64 \text{ kN}$
$V_q =$	$1,47$	$=$	$1,47 \text{ kN}$	$1,50$	$=$	$2,21 \text{ kN}$
celková posouvající síla a reakce		$V_f =$	$4,64 \text{ kN}$	$1,26$		$5,84 \text{ kN}$

Pružné deformace

$$w_g = \frac{1}{3} \cdot \frac{M_g}{E} \cdot \frac{l^2}{l} = \frac{1}{3} \cdot \frac{2,85}{10,00} \cdot \frac{0,90^2}{66,00}$$

$$w_g = 1,2 \text{ mm}$$

$$w_q = \frac{1}{3} \cdot \frac{M_q}{E} \cdot \frac{l^2}{l} = \frac{1}{3} \cdot \frac{1,32}{10,00} \cdot \frac{0,90^2}{66,00}$$

$$w_q = 0,5 \text{ mm}$$

Zatížení

moment k ose y

$M_{yd} = 5,26 \text{ kNm}$

posouvající síla

$V_d = 5,84 \text{ kN}$

Prostředí - třída provozu

2

Třída trvání zatížení

střednědobé

Návrh průřezu a dřeva

Dřevo

typ dřeva

rostlé dřevo

$E_{0,mean} = 10,00 \text{ GPa}$

$f_{m,k} = 22,00 \text{ MPa}$

třída dřeva

C22

$E_{0,05} = 6,70 \text{ GPa}$

$f_{v,k} = 2,40 \text{ MPa}$

modifikační součinitel

$k_{mod} = 0,80$

$\gamma_M = 1,30$

Průřez

šířka průřezu

$b = 160 \text{ mm}$

výška průřezu

$h = 140 \text{ mm}$

plocha

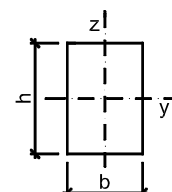
$A = 22,40 \cdot 10^3 \cdot \text{mm}^2$

moment setrvačnosti

$I_y = 36,59 \cdot 10^6 \cdot \text{mm}^4$

průřezový modul

$W_y = 522,67 \cdot 10^3 \cdot \text{mm}^3$



Geometrie

délka nosníku

$l = 0,90 \text{ m}$

Podmínky

délka nosníku nezajištěná proti příčné a torzní nestabilitě

klopení nezajištěné

$l_t = 0,90 \text{ m}$

Posouzení - MSÚ - Ohyb s příčnou a torzní stabilitou

Součinitel příčné a torzní stability

typ nosníku

konzola

typ zatížení

síla

$k_{crit} = 1,00$

Návrhové pevnosti

$$f_{m,d} = \frac{k_{mod} \cdot f_{m,k}}{\gamma_M} = \frac{0,80 \cdot 22,00}{1,30} = 13,54 \text{ MPa}$$

$$\frac{M_{yd}}{k_{crit} \cdot W_y \cdot f_{m,d}} = \frac{5,26}{1,00 \cdot 522,67 \cdot 13,54} = 0,74 < 1,00$$

vyhovuje

Posouzení - MSÚ - Smyk

součinitel vlivu vysušených trhlín $k_{cr} = 0,67$

efektivní šířka průřezu $b_{ef} = k_{cr} \cdot b = 0,67 \cdot 160,00 = 107 \text{ mm}$

efektivní plocha $A_{ef} = 15,01 \cdot 10^3 \cdot \text{mm}^2$

Návrhové pevnosti

$$f_{v,d} = \frac{k_{mod} \cdot f_{v,k}}{\gamma_M} = \frac{0,80 \cdot 2,40}{1,30} = 1,48 \text{ MPa}$$

$$\frac{3 \cdot V_d}{2 \cdot A_{ef} \cdot f_{v,d}} = \frac{3 \cdot 5,84}{2 \cdot 15,01 \cdot 1,48} = 0,40 < 1,00$$

vyhovuje

Posouzení - MSP - Deformace

Okamžitý průhyb od stálých zatížení $w_{inst,g} = 1,2 \text{ mm}$

Okamžitý průhyb od proměnného zatížení $w_{inst,q} = 0,5 \text{ mm}$

Celkový okamžitý průhyb $w_{inst,f} = 1,7 \text{ mm}$

součinitel pro kvazistalou hodnotu proměnného zatížení: **střecha** $\psi_{2,q} = 0,0$

modifikační součinitel deformace $k_{def} = 0,80$

Okamžitý průhyb

$$w_{inst,f} = 1,7 \text{ mm} < w_{lim,inst} = \frac{l}{150} = \frac{900}{150} = 6,0 \text{ mm}$$

vyhovuje

Konečný průhyb

Konečný průhyb od stálých zatížení

$$w_{fin,g} = w_{inst,g} \cdot \left(1 + k_{def} \right) = 1,2 \cdot (1 + 0,80) = 2,1 \text{ mm}$$

Konečný průhyb od proměnného zatížení

$$w_{fin,q} = w_{inst,q} \cdot \left(1 + \psi_{2,q} \cdot k_{def} \right) = 0,5 \cdot (1 + 0,0 \cdot 0,80) = 0,5 \text{ mm}$$

Celkový konečný průhyb

$$w_{fin,f} = 2,6 \text{ mm} < w_{lim,fin} = \frac{l}{125} = \frac{900}{125} = 7,2 \text{ mm}$$

vyhovuje

2.5 Zatížení zděnou stěnou

Skladba stěny	tloušťka	objemová tíha	charakteristické	γ_G	návrhové
izolace	0,160	1,50	= 0,24 kN/m ²	1,35	0,32 kN/m ²
tíha stěny	0,250	10,00	= 2,50 kN/m ²	1,35	3,38 kN/m ²
omítka	0,020	18,00	= 0,36 kN/m ²	1,35	0,49 kN/m ²
g zatížení na m² stěny			3,10 kN/m²	1,35	4,19 kN/m²

2.6 Zatížení klinker fasádou

Skladba stěny	tloušťka	objemová tíha	charakteristické	γ_G	návrhové
vlastní tíha	0,150	18,00	= 2,70 kN/m ²	1,35	3,65 kN/m ²
g zatížení na m² stěny			2,70 kN/m²	1,35	3,65 kN/m²

2.7 Zatížení desky nad stávajícím vodojemem

Skladba stropu	tloušťka	objemová tíha	charakteristické	γ_G	návrhové
nášlapná vrstva	0,025	22,00	= 0,55 kN/m ²	1,35	0,74 kN/m ²
vlastní tíha desky	0,180	25,00	= 4,50 kN/m ²	1,35	6,08 kN/m ²
g celkem stálé zatížení			5,05 kN/m²	1,35	6,82 kN/m²
Proměnné zatížení			charakteristické	γ_Q	návrhové
q užité zatížení			2,50 kN/m²	1,50	3,75 kN/m²
f celkové zatížení			7,55 kN/m²	1,40	10,57 kN/m²

2.8 Návrh a posouzení desky nad stávajícím vodojemem

Zatížení Kombinace zatížení jako méně příznivá kombinace z následujících dvou výrazů

$$\gamma_G = 1,35 \quad \gamma_Q = 1,50 \quad \psi_{0,1} = 0,70 \quad \xi_1 = 0,85$$

Kombinace 1 $\gamma_Q \cdot \psi_{0,1} = 1,50 \cdot 0,70 = 1,05$

g₁ stálé zatížení $5,05 \cdot 1,30 = 6,57 \text{ kN/m}$ $\gamma_G = 1,35$ $8,86 \text{ kN/m}$

q₁ proměnné zatížení $2,50 \cdot 1,30 = 3,25 \text{ kN/m}$ $\gamma_Q \cdot \psi_{0,1} = 1,05$ $3,41 \text{ kN/m}$

f₁ celkové zatížení **9,82 kN/m** **1,25** **12,28 kN/m**

Kombinace 2 $\xi_1 \cdot \gamma_G = 0,85 \cdot 1,35 = 1,15$

g₂ stálé zatížení $5,05 \cdot 1,30 = 6,57 \text{ kN/m}$ $\xi_1 \cdot \gamma_G = 1,15$ $7,53 \text{ kN/m}$

q₂ proměnné zatížení $2,50 \cdot 1,30 = 3,25 \text{ kN/m}$ $\gamma_Q = 1,50$ $4,88 \text{ kN/m}$

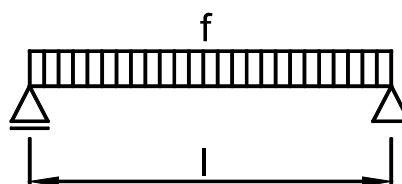
f₂ celkové zatížení **9,82 kN/m** **1,26** **12,41 kN/m**

Rozhodující kombinace:

kombinace 2

Schéma konstrukce

rozpětí konstrukce $l = 2,00 \text{ m}$



Vnitřní síly a reakce

$$M = \frac{1}{8} \cdot f \cdot l^2$$

$$M_g = \frac{1}{8} \cdot 6,57 \cdot 2,00^2 = 3,28 \text{ kNm} \quad 1,15 = 3,77 \text{ kNm}$$

$$M_q = \frac{1}{8} \cdot 3,25 \cdot 2,00^2 = 1,63 \text{ kNm} \quad 1,50 = 2,44 \text{ kNm}$$

celkový moment **M_f = 4,91 kNm** **1,26** **6,20 kNm**

$$V = \frac{1}{2} \cdot f \cdot l$$

$$V_g = \frac{1}{2} \cdot 6,57 \cdot 2,00 = 6,57 \text{ kN} \quad 1,15 = 7,53 \text{ kN}$$

$$V_q = \frac{1}{2} \cdot 3,25 \cdot 2,00 = 3,25 \text{ kN} \quad 1,50 = 4,88 \text{ kN}$$

celková posouvající síla a reakce **V_f = 9,82 kN** **1,26** **12,41 kN**

Pružné deformace

$$w_g = \frac{5}{48} \cdot \frac{M_g}{E \cdot I} = \frac{5}{48} \cdot \frac{3,28}{31,00 \cdot 486,00}$$

$$w_g = 0,1 \text{ mm}$$

$$w_q = \frac{5}{48} \cdot \frac{M_q}{E \cdot I} = \frac{5}{48} \cdot \frac{1,63}{31,00 \cdot 486,00}$$

$$w_q = 0,0 \text{ mm}$$

$$w_f = 0,1 \text{ mm}$$

Zatížení **M_d = 6,20 kNm**

V_d = 12,41 kN

Návrh průřezu, betonu

Rozměry **b = 1,00 m**

h = 0,18 m

Beton

C25/ 30

E_{cm} = 31,00 GPa

I_c = 486 · 10⁻⁶ m⁴

A_c = 0,180 m²

$\gamma_c = 1,50$

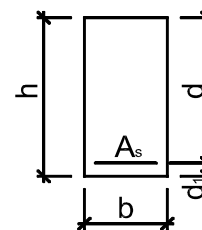
$\alpha_{cc} = 1,0$

f_{ck} = 25,00 MPa

f_{ctm} = 2,60 MPa

f_{cm} = 38,00 MPa

$\eta = 1,00$



f_{cd} = 16,67 MPa

ε_{cu3} = 3,50

λ = 0,80

Návrh ohybové výztuže

třída tažnosti

Výztuž	B500 B	$f_{yk} = 500,00 \text{ MPa}$	$\gamma_s = 1,15$
Počet ks na b	6,67 ks	$f_{yd} = 434,78 \text{ MPa}$	$E_s = 200,00 \text{ GPa}$
Průměr výztuže	Ø10	$\varepsilon_{yd} = 2,17$	$\xi_{bal,1} = 0,62$
Krytí výztuže	$c = \mathbf{30 \text{ mm}}$	Plocha výztuže na b	$A_{s,prov} = 524 \cdot 10^{-6} \text{ m}^2$
		$d_1 = 35 \text{ mm}$	$d = 145 \text{ mm}$

Posouzení - MSÚ - Ohyb

Kontrola vyztužení

$$A_{s1,min} = 189 \cdot 10^{-6} \text{ m}^2 < 524 \cdot 10^{-6} \text{ m}^2$$

$$A_{s,max} = 7200 \cdot 10^{-6} \text{ m}^2 > 524 \cdot 10^{-6} \text{ m}^2$$

Otlačení betonu

$$M_{Rd} = \mathbf{31,45 \text{ kNm}} > M_d = \mathbf{6,20 \text{ kNm}}$$

vyhovuje
vyhovuje
vyhovuje

Posouzení - MSP - Deformace

Poměr kvazistalé kombinace k charakteristické kombinaci

$$\frac{G + \psi_2 \cdot Q}{G + Q} = \frac{6,57 + \mathbf{0,50} \cdot 3,25}{6,57 + 3,25} = 0,83$$

Moment od zatížení kvazistalé kombinace

$$M_{kqp} = 0,83 \cdot M_k$$

$$M_{kqp} = 0,83 \cdot 4,91 = \mathbf{4,10 \text{ kNm}}$$

Průžná deformace od kvazistalé kombinace

$$w_{elqp} = 0,83 \cdot w_{el}$$

$$w_{elqp} = 0,83 \cdot 0,14 = \mathbf{0,1 \text{ mm}}$$

Rozpětí konstrukce

$$l = \mathbf{2,00 \text{ m}}$$

Začátek smršťování (dny)

$$t_{0,s} = \mathbf{5}$$

Prostředí :relativní vlhkost

$$RH = \mathbf{50\%}$$

Vyšetřovaný okamžik (dny)

$$t \text{ (25 let)} = \mathbf{9 \text{ 125}}$$

Začátek dotvarování (dny)

$$t_{0,c} = \mathbf{28}$$

Charakter zatížení

$$\beta = \mathbf{0,50}$$

Obvod prvku vystavený okolnímu prostředí

$$u = \mathbf{2,00 \text{ m}}$$

Součinitel dotvarování pro zatížení

$$\phi_c(t, t_0) = \phi_0 \cdot \beta_c(t, t_0) = 2,51 \cdot 0,98 = \mathbf{2,47}$$

Součinitel dotvarování pro smršťování

$$\phi_s(t, t_0) = \phi_0 \cdot \beta_s(t, t_0) = 3,47 \cdot 0,98 = \mathbf{3,42}$$

Celkové poměrné smršťování

$$\varepsilon_{cs} = \varepsilon_{cd}(t) + \varepsilon_{ca}(t) = 0,000558 + 0,000037 = \mathbf{0,0005952}$$

Deformace od dlouhodobého zatížení

Ohybová tuhost betonového průřezu bez výztuže z výpočetního modelu bez uvažování dotvarování

$$E_{cm} \cdot I_c = 31,00 \cdot 486,00 = \mathbf{15,07 \text{ MNm}^2}$$

Ohybová tuhost betonového průřezu s výztuží s uvažovaným dotvarováním

$$E_{c,eff} \cdot I_i = 8,94 \cdot 0,0005193 = \mathbf{4,64 \text{ MNm}^2}$$

$$M_{cr,lt} = \mathbf{15,58 \text{ kNm}} > M_{kqp} = \mathbf{4,10 \text{ kNm}} \quad \text{trhliny se neočekávají}$$

Ohybová tuhost průřezu s trhlinami s uvažovaným dotvarováním

$$B = E_{c,eff} \cdot I_i \cdot \left(1 - \xi \right) + E_{c,eff} \cdot I_{ir} \cdot \xi$$

$$B = 4,64 \cdot \left(1 - 0,50 \right) + 1,31 \cdot 0,50 = \mathbf{2,98 \text{ MNm}^2}$$

Průžná deformace do vzniku trhlin

$$w_{el,cr} = w_{elqp} \cdot \frac{M_{cr,lt}}{M_{kqp}} = 0,1 \cdot \frac{4,10}{4,10} = \mathbf{0,1 \text{ mm}}$$

Deformace do vzniku trhlin s dotvarováním

$$w_{el,cr,\phi} = w_{el,cr} \cdot \frac{E_{cm} \cdot I_c}{E_{c,eff} \cdot I_i} = 0,1 \cdot \frac{15,07}{4,64} = \mathbf{0,4 \text{ mm}}$$

Průžná deformace po vzniku trhlin

$$w_{el,B} = w_{elqp} - w_{el,cr} = 0,1 - 0,1 = \mathbf{0,0 \text{ mm}}$$

Deformace po vzniku trhlin s dotvarováním

$$w_{el,B,\phi} = w_{el,B} \cdot \frac{E_{cm} \cdot I_c}{B} = 0,00 \cdot \frac{15,07}{2,98} = \mathbf{0,0 \text{ mm}}$$

$$w_f = w_{el,cr,\phi} + w_{el,B,\phi} = 0,4 + 0,0 = \mathbf{0,4 \text{ mm}}$$

Deformace od smršťování

$$k = \mathbf{0,089}$$

$$w_{cs} = k \cdot \frac{1}{r_{cs}} \cdot l^2 = 0,089 \cdot 0,00276 \cdot 2,00^2 = \mathbf{1,0 \text{ mm}}$$

Celková deformace od dlouhodobého zatížení a smršťování

$$w_{lim} = l / 250 = 2,00 / 250$$

$$w_{cel} = w_f + w_{cs} = 0,4 + 1,0$$

$$w_{cel} = 1,4 \text{ mm} < w_{lim} = 8,0 \text{ mm}$$

vyhovuje

Posouzení - MSP - Omezení napětí

Kontrola napětí v betonu

$$\sigma_c = M_k \cdot x / I_{ir} = 4,10 \cdot 0,0477 / 0,000147$$

$$\sigma_c = 1,33 \text{ MPa} < 0,45 \cdot f_{ck} = 0,45 \cdot 25,00 = 11,25 \text{ MPa}$$

vyhovuje

Kontrola napětí ve výztuži

$$\sigma_x = \alpha_e \cdot M_k \cdot (d - x) / I_{ir}$$

$$\sigma_x = 22,38 \cdot 4,10 \cdot 0,097 / 0,000147$$

$$\sigma_x = 60,59 \text{ MPa} < 0,8 \cdot f_{yk} = 0,8 \cdot 500,00 = 400,00 \text{ MPa}$$

vyhovuje

Posouzení - MSP - Trhliny

Moment od celkového zatížení

$$M_k = 4,91 \text{ kNm}$$

$$M_{cr,lt} = 14,42 \text{ kNm}$$

>

$$M_k = 4,91 \text{ kNm}$$

trhliny se neočekávají

$$w_k = 0,00 \text{ mm}$$

<

$$w_{lim} = 0,30 \text{ mm}$$

šířka trhliny vyhovuje

2.9 Návrh a posouzení ŽB trámu na konci desky

Zatížení Kombinace zatížení jako méně příznivá kombinace z následujících dvou výrazů

$$\gamma_G = 1,35$$

$$\gamma_Q = 1,50$$

$$\psi_{0,1} = 0,70$$

$$\xi_1 = 0,85$$

Kombinace 1

$$\gamma_Q \cdot \psi_{0,1} = 1,50 \cdot 0,70 = 1,05$$

zat. šířka nebo výška

γ_G

$$\text{stálé zatížení střechy} \quad 1,62 \cdot 2,10 = 3,40 \text{ kN/m}$$

$$\text{tíha stěny} \quad 3,10 \cdot 1,50 = 4,65 \text{ kN/m}$$

$$\text{tíha klinker fasády} \quad 2,70 \cdot 1,90 = 5,13 \text{ kN/m}$$

$$\text{stálé zatížení z desky} \quad 5,05 \cdot 1,10 = 5,56 \text{ kN/m}$$

průřez trámu

$$\text{vlastní tíha} \quad 25,00 \cdot 0,25 \cdot 0,58 = 3,63 \text{ kN/m}$$

$$g_1 \text{ stálé zatížení} \quad 22,36 \text{ kN/m} \quad 1,35 \quad 30,18 \text{ kN/m}$$

$\gamma_Q \cdot \psi_{0,1}$

$$\text{proměnné zatížení střechy} \quad 0,75 \cdot 2,10 = 1,58 \text{ kN/m}$$

$$\text{proměnné zatížení z desky} \quad 2,50 \cdot 1,10 = 2,75 \text{ kN/m}$$

$$q_1 \text{ proměnné zatížení} \quad 4,33 \text{ kN/m} \quad 1,05 \quad 4,54 \text{ kN/m}$$

$$f_1 \text{ celkové zatížení} \quad 26,68 \text{ kN/m} \quad 1,30 \quad 34,72 \text{ kN/m}$$

Kombinace 2

$$\xi_1 \cdot \gamma_G = 0,85 \cdot 1,35 = 1,15$$

$\xi_1 \cdot \gamma_G$

$$g_2 \text{ stálé zatížení} \quad 22,36 \text{ kN/m} \quad 1,15 \quad 25,65 \text{ kN/m}$$

γ_Q

$$q_2 \text{ proměnné zatížení} \quad 4,33 \text{ kN/m} \quad 1,50 \quad 6,49 \text{ kN/m}$$

$$f_2 \text{ celkové zatížení} \quad 26,68 \text{ kN/m} \quad 1,20 \quad 32,14 \text{ kN/m}$$

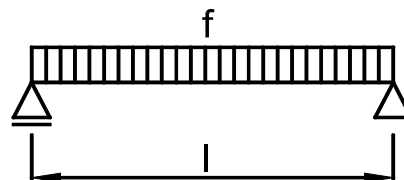
Rozhodující kombinace:

kombinace 1

Schéma konstrukce

rozpětí konstrukce

$l = 3,20 \text{ m}$



Vnitřní síly a reakce

$M =$	$1/8 \cdot f \cdot l^2$						
$M_g =$	$1/8 \cdot 22,36 \cdot 3,20^2$	$=$	$28,62 \text{ kNm}$	$1,35$	$=$	$38,63 \text{ kNm}$	
$M_q =$	$1/8 \cdot 4,33 \cdot 3,20^2$	$=$	$5,54 \text{ kNm}$	$1,05$	$=$	$5,81 \text{ kNm}$	
celkový moment			$M_f =$	$34,15 \text{ kNm}$	$1,30$	$44,44 \text{ kNm}$	
$V =$	$1/2 \cdot f \cdot l$						
$V_g =$	$1/2 \cdot 22,36 \cdot 3,20$	$=$	$35,77 \text{ kN}$	$1,35$	$=$	$48,29 \text{ kN}$	
$V_q =$	$1/2 \cdot 4,33 \cdot 3,20$	$=$	$6,92 \text{ kN}$	$1,05$	$=$	$7,27 \text{ kN}$	
celková posouvající síla a reakce			$V_f =$	$42,69 \text{ kN}$	$1,30$	$55,55 \text{ kN}$	

Pružné deformace

$w_g =$	$\frac{5 \cdot M_g \cdot l^2}{48 \cdot E \cdot I}$	$=$	$\frac{5 \cdot 28,62 \cdot 3,20^2}{48 \cdot 31,00 \cdot 4064,83}$	
$w_g =$	$0,2 \text{ mm}$			
$w_q =$	$\frac{5 \cdot M_q \cdot l^2}{48 \cdot E \cdot I}$	$=$	$\frac{5 \cdot 5,54 \cdot 3,20^2}{48 \cdot 31,00 \cdot 4064,83}$	
$w_q =$	$0,0 \text{ mm}$			
$w_f =$	$0,3 \text{ mm}$			

Zatížení

$M_d = 44,44 \text{ kNm}$

$V_d = 55,55 \text{ kN}$

Návrh průřezu, betonu

Rozměry

$b = 0,25 \text{ m}$

$\gamma_c = 1,50$

$h = 0,58 \text{ m}$

$\alpha_{cc} = 1,0$

Beton

C25/30

$f_{ck} = 25,00 \text{ MPa}$

$E_{cm} = 31,00 \text{ GPa}$

$f_{ctm} = 2,60 \text{ MPa}$

$f_{cd} = 16,67 \text{ MPa}$

$I_c = 4065 \cdot 10^{-6} \text{ m}^4$

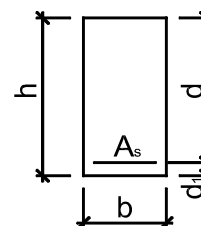
$f_{cm} = 38,00 \text{ MPa}$

$\varepsilon_{cu3} = 3,50$

$A_c = 0,145 \text{ m}^2$

$\eta = 1,00$

$\lambda = 0,80$



Návrh ohybové výztuže

třída tažnosti

Výztuž

B500 B

$f_{yk} = 500,00 \text{ MPa}$

$\gamma_s = 1,15$

Počet ks na b

4,00 ks

$f_{yd} = 434,78 \text{ MPa}$

$E_s = 200,00 \text{ GPa}$

Průměr výztuže

Ø10

$\varepsilon_{yd} = 2,17$

$\xi_{bal,1} = 0,62$

Krytí výztuže

c = 40 mm

Plocha výztuže na b

$A_{s,prov} = 314 \cdot 10^{-6} \text{ m}^2$

$d_1 = 45 \text{ mm}$

$d = 535 \text{ mm}$

Posouzení - MSÚ - Ohyb

Kontrola vyztužení

$A_{s1,min} = 174 \cdot 10^{-6} \text{ m}^2 < 314 \cdot 10^{-6} \text{ m}^2$

$A_{s,max} = 5800 \cdot 10^{-6} \text{ m}^2 > 314 \cdot 10^{-6} \text{ m}^2$

vyhovuje

Otlačení betonu

$M_{Rd} = 70,84 \text{ kNm} > M_d = 44,44 \text{ kNm}$

vyhovuje

vyhovuje

Posouzení - MSÚ - Smyk

ohybová výztuž **zakotvená za místem smykové síly min. 100mm**

Únosnost betonu ve smyku

$V_{Rd,c} = 47,88 \text{ kN} < V_d = 55,55 \text{ kN}$

nutné vyztužit průřez smykovou výztuží!

Návrh smykové výztuže

Průměr výztuže	Ø8	$A_{sw} = 101 \cdot 10^{-6} \text{ m}^2$		
Střížnost	2	sklon třmínků:	$\alpha = 90,00^\circ$	
vzdálenost tř.	$s = 200 \text{ mm}$	vliv tlakové síly:	$\alpha_{cw} = 1,00$	
Kontrola vzdálenosti třmínků	$s_{max} = 0,75 \cdot d \cdot (1 + \cot \alpha)$			
	$s_{max} = 0,75 \cdot 535 \cdot (1 + 0,00)$			
Vzdálenost třmínků	$s_{max} = 400 \text{ mm} > 200 \text{ mm}$			vyhovuje
Omezení smyk. vyztužení	$\rho_w = 0,00201 > 0,00080$			vyhovuje
Únosnost tlakových diagonál				
$V_{Rd,max} = 373,58 \text{ kN} > V_d = 55,55 \text{ kN}$				vyhovuje
Únosnost smykové výztuže v šikmé trhlíně				
$V_{Rd,s} = 263,07 \text{ kN} > V_d = 55,55 \text{ kN}$				vyhovuje

Posouzení - MSP - Deformace

Poměr kvazistalé kombinace k charakteristické kombinaci

$$\frac{G + \psi_2 \cdot Q}{G + Q} = \frac{22,36 + 0,50 \cdot 4,33}{22,36 + 4,33} = 0,92$$

Moment od zatížení kvazistalé kombinace

$$M_{kqp} = 0,92 \cdot M_k$$

$$M_{kqp} = 0,92 \cdot 34,15 = 31,38 \text{ kNm}$$

Průžná deformace od kvazistalé kombinace

$$w_{elqp} = 0,92 \cdot w_{el}$$

$$w_{elqp} = 0,92 \cdot 0,29 = 0,3 \text{ mm}$$

Rozpětí konstrukce	$l = 3,20 \text{ m}$	Začátek smršťování (dny)	$t_{0,s} = 5$
Prostředí :relativní vlhkost	$RH = 50\%$	Vyšetřovaný okamžik (dny)	$t(25 \text{ let}) = 9125$
Začátek dotvarování (dny)	$t_{0,c} = 28$	Charakter zatížení	$\beta = 0,50$
Obvod prvku vystavený okolnímu prostředí	$u = 1,66 \text{ m}$		

Součinitel dotvarování pro zatížení

$$\phi_c(t, t_0) = \phi_0 \cdot \beta_c(t, t_0) = 2,52 \cdot 0,98 = 2,48$$

Součinitel dotvarování pro smršťování

$$\phi_s(t, t_0) = \phi_0 \cdot \beta_s(t, t_0) = 3,49 \cdot 0,98 = 3,43$$

Celkové poměrné smršťování

$$\epsilon_{cs} = \epsilon_{cd}(t) + \epsilon_{ca}(t) = 0,000558 + 0,000037 = 0,0005955$$

Deformace od dlouhodobého zatížení

Ohybová tuhost betonového průřezu bez výztuže z výpočetního modelu bez uvažování dotvarování

$$E_{cm} \cdot I_c = 31,00 \cdot 4064,83 = 126,01 \text{ MNm}^2$$

Ohybová tuhost betonového průřezu s výztuží s uvažovaným dotvarováním

$$E_{c,eff} \cdot I_i = 8,91 \cdot 0,0044687 = 39,80 \text{ MNm}^2$$

$$M_{cr,lt} = 41,70 \text{ kNm} > M_{kqp} = 31,38 \text{ kNm} \quad \text{trhliny se neočekávají}$$

Ohybová tuhost průřezu s trhlinami s uvažovaným dotvarováním

$$B = E_{c,eff} \cdot I_i \cdot (1 - \xi) + E_{c,eff} \cdot I_{ir} \cdot \xi$$

$$B = 39,80 \cdot (1 - 0,50) + 11,82 \cdot 0,50 = 25,81 \text{ MNm}^2$$

Průžná deformace do vzniku trhlín

$$w_{el,cr} = w_{elqp} \cdot M_{cr,lt} / M_{kqp} = 0,3 \cdot 31,38 / 31,38 = 0,3 \text{ mm}$$

Deformace do vzniku trhlín s dotvarováním

$$w_{el,cr,\phi} = w_{el,cr} \cdot E_{cm} \cdot I_c / E_{c,eff} \cdot I_i = 0,3 \cdot 126,01 / 39,80 = 0,8 \text{ mm}$$

Průžná deformace po vzniku trhlín

$$w_{el,B} = w_{elqp} - w_{el,cr} = 0,3 - 0,3 = 0,0 \text{ mm}$$

Deformace po vzniku trhlín s dotvarováním

$$w_{el,B,\phi} = w_{el,B} \cdot E_{cm} \cdot I_c / B = 0,00 \cdot 126,01 / 25,81 = 0,0 \text{ mm}$$

$$w_f = w_{el,cr,\phi} + w_{el,B,\phi} = 0,8 + 0,0 = 0,8 \text{ mm}$$

Deformace od smršťování

$$k = 0,089$$

$$w_{cs} = k \cdot 1/r_{cs} \cdot l^2 = 0,089 \cdot 0,00075 \cdot 3,20^2 = 0,7 \text{ mm}$$

Celková deformace od dlouhodobého zatížení a smršťování

$$w_{lim} = l / 250 = 3,20 / 250$$

$$w_{cel} = w_f + w_{cs} = 0,8 + 0,7$$

$$w_{cel} = 1,5 \text{ mm} < w_{lim} = 12,8 \text{ mm}$$

vyhovuje

Posouzení - MSP - Omezení napětí

Kontrola napětí v betonu

$$\sigma_c = M_k \cdot x / I_{ir} = 31,38 \cdot 0,1478 / 0,001327$$

$$\sigma_c = 3,50 \text{ MPa} < 0,45 \cdot f_{ck} = 0,45 \cdot 25,00 = 11,25 \text{ MPa}$$

vyhovuje

Kontrola napětí ve výztuži

$$\sigma_x = \alpha_e \cdot M_k \cdot (d - x) / I_{ir}$$

$$\sigma_x = 22,46 \cdot 31,38 \cdot 0,387 / 0,001327$$

$$\sigma_x = 205,66 \text{ MPa} < 0,8 \cdot f_{yk} = 0,8 \cdot 500,00 = 400,00 \text{ MPa}$$

vyhovuje

Posouzení - MSP - Trhliny

Moment od celkového zatížení

$$M_k = 34,15 \text{ kNm}$$

$$M_{cr,lt} = 37,73 \text{ kNm} > M_k = 34,15 \text{ kNm}$$

trhliny se neočekávají

$$w_k = 0,00 \text{ mm} < w_{lim} = 0,30 \text{ mm}$$

šířka trhliny vyhovuje

2.10 Návrh a posouzení ŽB trámu konzoly

Zatížení - liniové

Kombinace zatížení jako méně příznivá kombinace z následujících dvou výrazů

$$\gamma_G = 1,35$$

$$\gamma_Q = 1,50$$

$$\psi_{0,1} = 0,70$$

$$\xi_1 = 0,85$$

Kombinace 1

$$\gamma_Q \cdot \psi_{0,1} = 1,50 \cdot 0,70 = 1,05$$

zatěžovací šířka

γ_G

tíha stěny

$$3,10 \cdot 2,00 = 6,20 \text{ kN/m}$$

tíha klinker fasády

$$2,70 \cdot 2,50 = 6,75 \text{ kN/m}$$

průřez trámu

vlastní tíha

$$25,00 \cdot 0,23 \cdot 0,58 = 3,34 \text{ kN/m}$$

g₁ stálé zatížení

$$16,29 \text{ kN/m}$$

$$1,35$$

$$21,98 \text{ kN/m}$$

q₁ proměnné zatížení

$$0,00 \text{ kN/m}$$

$$\gamma_Q \cdot \psi_{0,1}$$

$$1,05$$

$$0,00 \text{ kN/m}$$

f₁ celkové zatížení

$$16,29 \text{ kN/m}$$

$$1,35$$

$$21,98 \text{ kN/m}$$

Kombinace 2

$$\xi_1 \cdot \gamma_G = 0,85 \cdot 1,35 = 1,15$$

$$\xi_1 \cdot \gamma_G$$

g₂ stálé zatížení

$$16,29 \text{ kN/m}$$

$$1,15$$

$$18,69 \text{ kN/m}$$

q₂ proměnné zatížení

$$0,00 \text{ kN/m}$$

$$\gamma_Q$$

$$1,50$$

$$0,00 \text{ kN/m}$$

f₂ celkové zatížení

$$16,29 \text{ kN/m}$$

$$1,15$$

$$18,69 \text{ kN/m}$$

Zatížení - osamělé břemeno

Kombinace zatížení jako méně příznivá kombinace z následujících dvou výrazů

Kombinace 1

γ_G

reakce z trámu na konci desky od stálého zatížení

$$35,77 \text{ kN}$$

reakce z konzoly pozednice od stálého zatížení

$$3,17 \text{ kN}$$

G₁ stálé zatížení

$$38,94 \text{ kN}$$

$$1,35$$

$$52,57 \text{ kN}$$

reakce z trámu na konci desky od proměnného zatížení

$$6,92 \text{ kN}$$

$$\gamma_Q \cdot \psi_{0,1}$$

reakce z konzoly pozednice od proměnného zatížení

$$1,47 \text{ kN}$$

Q₁ proměnné zatížení

$$8,39 \text{ kN}$$

$$1,05$$

$$8,81 \text{ kN}$$

F₁ celkové zatížení

$$47,33 \text{ kN}$$

$$1,30$$

$$61,38 \text{ kN}$$

Kombinace 2

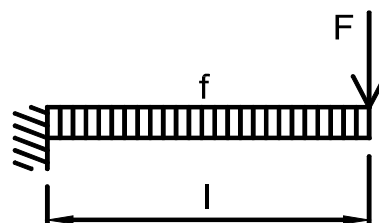
G₂ stálé zatížení	38,94 kN	$\xi_1 \cdot \gamma_G$ 1,15	44,68 kN
Q₂ proměnné zatížení	8,39 kN	γ_Q 1,50	12,59 kN
F₂ celkové zatížení	47,33 kN	1,21	57,27 kN

Rozhodující kombinace pro spojitě zatížení: kombinace 1

Rozhodující kombinace pro osamělé břemeno: kombinace 1

Schéma konstrukce

geometrie konstrukce $l = 2,30 \text{ m}$



Vnitřní síly a reakce

$M_f = \frac{1}{2} \cdot f \cdot l^2$			
$M_F = F \cdot l$			
$M_{f,g} = \frac{1}{2} \cdot 16,29 \cdot 2,30^2$	$= 43,07 \text{ kNm}$	1,35	$= 58,15 \text{ kNm}$
$M_{F,g} = 38,94 \cdot 2,30$	$= 89,56 \text{ kNm}$	1,35	$= 120,90 \text{ kNm}$
moment od stálého zatížení	$M_{f,g} = 132,63 \text{ kNm}$	1,35	179,05 kNm
$M_{f,q} = \frac{1}{2} \cdot 0,00 \cdot 2,30^2$	$= 0,00 \text{ kNm}$	1,05	$= 0,00 \text{ kNm}$
$M_{F,q} = 8,39 \cdot 2,30$	$= 19,30 \text{ kNm}$	1,05	$= 20,26 \text{ kNm}$
moment od proměnného zatížení	$M_{f,q} = 19,30 \text{ kNm}$	1,05	20,26 kNm
celkový moment	$M_{f,F} = 151,93 \text{ kNm}$	1,31	199,31 kNm
$V_f = f \cdot l$			
$V_F = F$			
$V_{f,g} = 16,29 \cdot 2,30$	$= 37,46 \text{ kN}$	1,35	$= 50,56 \text{ kN}$
$V_{F,g} = 38,94$	$= 38,94 \text{ kN}$	1,35	$= 52,57 \text{ kN}$
posouvající síla od stálého zatížení	$V_{f,g} = 76,39 \text{ kN}$	1,35	103,13 kN
$V_{f,q} = 0,00 \cdot 2,30$	$= 0,00 \text{ kN}$	1,05	$= 0,00 \text{ kN}$
$V_{F,q} = 8,39$	$= 8,39 \text{ kN}$	1,05	$= 8,81 \text{ kN}$
posouvající síla od proměnného zatížení	$V_{f,q} = 8,39 \text{ kN}$	1,05	8,81 kN
celková posouvající síla	$V_{f,F} = 84,78 \text{ kN}$	1,32	111,94 kN

Pružné deformace

$w_f = \frac{1}{4} \cdot \frac{M_f}{E \cdot I}$	+	$\frac{1}{3} \cdot \frac{M_F}{E \cdot I}$	
$w_g = \frac{1}{4} \cdot \frac{43,07}{31,00 \cdot 3739,65}$	+	$\frac{1}{3} \cdot \frac{89,56}{31,00 \cdot 3739,65}$	
$w_g = 1,9 \text{ mm}$			
$w_q = \frac{1}{4} \cdot \frac{0,00}{31,00 \cdot 3739,65}$	+	$\frac{1}{3} \cdot \frac{19,30}{31,00 \cdot 3739,65}$	
$w_q = 0,3 \text{ mm}$			
$w_f = 2,1 \text{ mm}$			

Zatížení

$M_d = 199,31 \text{ kNm}$

$V_d = 111,94 \text{ kN}$

Návrh průřezu, betonu

Rozměry

$b = 0,23 \text{ m}$

$\gamma_c = 1,50$

$h = 0,58 \text{ m}$

$\alpha_{cc} = 1,0$

Beton

C25/30

$f_{ck} = 25,00 \text{ MPa}$

$E_{cm} = 31,00 \text{ GPa}$

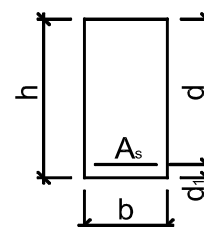
$f_{ctm} = 2,60 \text{ MPa}$

$I_c = 3740 \cdot 10^{-6} \text{ m}^4$

$f_{cm} = 38,00 \text{ MPa}$

$A_c = 0,133 \text{ m}^2$

$\eta = 1,00$



$f_{cd} = 16,67 \text{ MPa}$

$\varepsilon_{cu3} = 3,50$

$\lambda = 0,80$

Návrh ohybové výztuže		třída tažnosti	
Výztuž	B500 B	$f_{yk} = 500,00 \text{ MPa}$	$\gamma_s = 1,15$
Počet ks na b	3,00 ks	$f_{yd} = 434,78 \text{ MPa}$	$E_s = 200,00 \text{ GPa}$
Průměr výztuže	Ø22	$\varepsilon_{yd} = 2,17$	$\xi_{bal,1} = 0,62$
Krytí výztuže	$c = \mathbf{40 \text{ mm}}$	Plocha výztuže na b	$A_{s,prov} = 1140 \cdot 10^{-6} \text{ m}^2$
		$d_1 = 51 \text{ mm}$	$d = 529 \text{ mm}$
Posouzení - MSÚ - Ohyb			
Kontrola vyztužení			
$A_{s1,min} = 158 \cdot 10^{-6} \text{ m}^2$	$<$	$1140 \cdot 10^{-6} \text{ m}^2$	
$A_{s,max} = 5336 \cdot 10^{-6} \text{ m}^2$	$>$	$1140 \cdot 10^{-6} \text{ m}^2$	vyhovuje
Otlačení betonu			
$M_{Rd} = 230,23 \text{ kNm}$	$>$	$M_d = 199,31 \text{ kNm}$	vyhovuje
Posouzení - MSÚ - Smyk			
Únosnost betonu ve smyku			
$V_{Rd,c} = 67,47 \text{ kN}$	$<$	$V_d = 111,94 \text{ kN}$	
nutné vyztužit průřez smykovou výztuží!			
Návrh smykové výztuže			
Průměr výztuže	Ø8	$A_{sw} = 101 \cdot 10^{-6} \text{ m}^2$	
Střížnost	2	sklon třmínků:	$\alpha = 90,00^\circ$
vzdálenost tř.	$s = \mathbf{200 \text{ mm}}$	vliv tlakové síly:	$\alpha_{cw} = 1,00$
Kontrola vzdálenosti třmínků	$s_{max} = 0,75 \cdot d \cdot (1 + \cot \alpha)$		
	$s_{max} = 0,75 \cdot 529 \cdot (1 + 0,00)$		
Vzdálenost třmínků	$s_{max} = 397 \text{ mm}$	$> 200 \text{ mm}$	vyhovuje
Omezení smyk. vyztužení	$\rho_w = 0,00219$	$> 0,00080$	vyhovuje
Únosnost tlakových diagonál			
$V_{Rd,max} = 339,84 \text{ kN}$	$>$	$V_d = 111,94 \text{ kN}$	vyhovuje
Únosnost smykové výztuže v šikmé trhlíně			
$V_{Rd,s} = 260,12 \text{ kN}$	$>$	$V_d = 111,94 \text{ kN}$	vyhovuje
Posouzení - MSP - Deformace			
Poměr kvazistalé kombinace k charakteristické kombinaci			
$G + \psi_2 \cdot Q$	$=$	$132,63 + 0,50 \cdot 19,30$	$= 0,94$
$G + Q$	$=$	$132,63 + 19,30$	
Moment od zatížení kvazistalé kombinace			
$M_{kqp} = 0,94 \cdot M_k$			
$M_{kqp} = 0,94 \cdot 151,93$	$=$	$142,28 \text{ kNm}$	
Průžná deformace od kvazistalé kombinace			
$w_{elqp} = 0,94 \cdot w_{el}$			
$w_{elqp} = 0,94 \cdot 2,15$	$=$	$2,0 \text{ mm}$	
Rozpětí konstrukce	$l = \mathbf{2,30 \text{ m}}$	Začátek smršťování (dny)	$t_{0,s} = \mathbf{5}$
Prostředí :relativní vlhkost	$RH = \mathbf{50\%}$	Vyšetřovaný okamžik (dny)	$t (25 \text{ let}) = \mathbf{9 125}$
Začátek dotvarování (dny)	$t_{0,c} = \mathbf{28}$	Charakter zatížení	$\beta = \mathbf{0,50}$
Obvod prvku vystavený okolnímu prostředí	$u = \mathbf{1,62 \text{ m}}$		
Součinitel dotvarování pro zatížení			
$\phi_c(t, t_0) = \phi_0 \cdot \beta_c(t, t_0)$	$=$	$2,55 \cdot 0,98$	$= \mathbf{2,51}$
Součinitel dotvarování pro smršťování			
$\phi_s(t, t_0) = \phi_0 \cdot \beta_s(t, t_0)$	$=$	$3,52 \cdot 0,98$	$= \mathbf{3,47}$
Celkové poměrné smršťování			
$\varepsilon_{cs} = \varepsilon_{cd}(t) + \varepsilon_{ca}(t)$	$=$	$0,000558 + 0,000037$	$= \mathbf{0,000596}$

Deformace od dlouhodobého zatížení

Ohybová tuhost betonového průřezu bez výztuže z výpočetního modelu bez uvažování dotvarování

$$E_{cm} \cdot I_c = 31,00 \cdot 3739,65 = 115,93 \text{ MNm}^2$$

Ohybová tuhost betonového průřezu s výztuží s uvažovaným dotvarováním

$$E_{c,eff} \cdot I_i = 8,84 \cdot 0,0049741 = 43,99 \text{ MNm}^2$$

$$M_{cr,lt} = 51,47 \text{ kNm} < M_{kqp} = 142,28 \text{ kNm} \quad \text{trhliny se očekávají}$$

Ohybová tuhost průřezu s trhlinami s uvažovaným dotvarováním

$$B = \frac{E_{c,eff} \cdot I_i \cdot (1 - \xi)}{1 - 0,93} + \frac{E_{c,eff} \cdot I_{ir} \cdot \xi}{0,93} = 29,37 \text{ MNm}^2$$

Průžná deformace do vzniku trhlin

$$w_{el,cr} = w_{elqp} \cdot \frac{M_{cr,lt}}{M_{kqp}} = 2,0 \cdot \frac{51,47}{142,28} = 0,7 \text{ mm}$$

Deformace do vzniku trhlin s dotvarováním

$$w_{el,cr,\phi} = w_{el,cr} \cdot \frac{E_{cm} \cdot I_c}{E_{c,eff} \cdot I_i} = 0,7 \cdot \frac{115,93}{43,99} = 1,9 \text{ mm}$$

Průžná deformace po vzniku trhlin

$$w_{el,B} = w_{elqp} - w_{el,cr} = 2,0 - 0,7 = 1,3 \text{ mm}$$

Deformace po vzniku trhlin s dotvarováním

$$w_{el,B,\phi} = w_{el,B} \cdot \frac{E_{cm} \cdot I_c}{B} = 1,28 \cdot \frac{115,93}{29,37} = 5,1 \text{ mm}$$

$$w_f = w_{el,cr,\phi} + w_{el,B,\phi} = 1,9 + 5,1 = 7,0 \text{ mm}$$

Deformace od smršťování

$$k = 0,089$$

$$w_{cs} = k \cdot \frac{1}{r_{cs}} \cdot l^2 = 0,089 \cdot 0,00132 \cdot 2,30^2 = 0,6 \text{ mm}$$

Celková deformace od dlouhodobého zatížení a smršťování

$$w_{lim} = l / 150 = 2,30 / 150$$

$$w_{cel} = w_f + w_{cs} = 7,0 + 0,6$$

$$w_{cel} = 7,6 \text{ mm} < w_{lim} = 15,3 \text{ mm} \quad \text{vyhovuje}$$

Posouzení - MSP - Omezení napětí

Kontrola napětí v betonu

$$\sigma_c = \frac{M_k}{I_{ir}} \cdot x = \frac{142,28}{0,003205} \cdot 0,2501 = 11,10 \text{ MPa}$$

$$\sigma_c = 11,10 \text{ MPa} < 0,45 \cdot f_{ck} = 0,45 \cdot 25,00 = 11,25 \text{ MPa} \quad \text{vyhovuje}$$

Kontrola napětí ve výztuži

$$\sigma_x = \alpha_e \cdot \frac{M_k}{I_{ir}} \cdot (d - x) = 22,61 \cdot \frac{142,28}{0,003205} \cdot 0,279 = 279,97 \text{ MPa}$$

$$\sigma_x = 279,97 \text{ MPa} < 0,8 \cdot f_{yk} = 0,8 \cdot 500,00 = 400,00 \text{ MPa}$$

vyhovuje

Posouzení - MSP - Trhliny

Moment od celkového zatížení

$$M_k = 151,93 \text{ kNm}$$

$$M_{cr,lt} = 37,96 \text{ kNm} < M_k = 151,93 \text{ kNm}$$

$$w_k = 0,29 \text{ mm} < w_{lim} = 0,30 \text{ mm} \quad \text{trhliny se očekávají šířka trhliny vyhovuje}$$

2.11 Návrh a posouzení konzoly pro vynesení klinker fasády

Zatížení Kombinace zatížení jako méně příznivá kombinace z následujících dvou výrazů

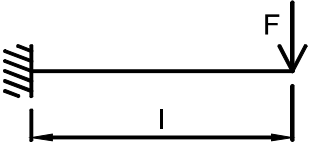
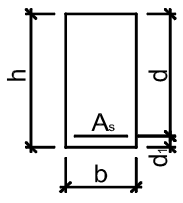
$$\gamma_G = 1,35 \quad \gamma_Q = 1,50 \quad \Psi_{0,1} = 0,70 \quad \xi_1 = 0,85$$

$$\text{Kombinace 1} \quad \gamma_Q \cdot \Psi_{0,1} = 1,50 \cdot 0,70 = 1,05$$

	výška	zatěžovací šířka		γ_G
G_1 stálé zatížení	2,70	2,50	1,00	1,35
				9,11 kN

Q_1 užité zatížení				$\gamma_Q \cdot \Psi_{0,1}$
			0,00 kN	1,05
				0,00 kN

F_1 celkové zatížení		6,75 kN	1,35	9,11 kN
------------------------	--	---------	------	---------

Kombinace 2		$\xi_1 \cdot \gamma_G = 0,85 \cdot 1,35 = 1,15$	
G₂ stálé zatížení		6,75 kN	$\xi_1 \cdot \gamma_G$ 1,15 7,75 kN
Q₂ užitné zatížení		0,00 kN	γ_Q 1,50 0,00 kN
F₂ celkové zatížení		6,75 kN	1,15 7,75 kN
Rozhodující kombinace:			
kombinace 1			
Schéma konstrukce			
délka konstrukce	$l = 0,300 \text{ m}$		
Vnitřní síly a reakce			
$M = F \cdot l$			
$M_g = 6,75 \cdot 0,30 = 2,03 \text{ kNm}$	1,35	$= 2,73 \text{ kNm}$	
$M_q = 0,00 \cdot 0,30 = 0,00 \text{ kNm}$	1,05	$= 0,00 \text{ kNm}$	
celkový moment	M_f = 2,03 kNm	1,35	2,73 kNm
$V = F$			
$V_g = 6,75 = 6,75 \text{ kN}$	1,35	$= 9,11 \text{ kN}$	
$V_q = 0,00 = 0,00 \text{ kN}$	1,05	$= 0,00 \text{ kN}$	
celková posouvající síla a reakce	V_f = 6,75 kN	1,35	9,11 kN
Zatížení	M_d = 2,73 kNm	V_d = 9,11 kN	
Návrh průřezu, betonu			
Rozměry	$b = 1,00 \text{ m}$	$\gamma_c = 1,50$	
	$h = 0,18 \text{ m}$	$\alpha_{cc} = 1,0$	
Beton	C25/ 30	$f_{ck} = 25,00 \text{ MPa}$	
	$E_{cm} = 31,00 \text{ GPa}$	$f_{ctm} = 2,60 \text{ MPa}$	$f_{cd} = 16,67 \text{ MPa}$
	$I_c = 486 \cdot 10^{-6} \text{ m}^4$	$f_{cm} = 38,00 \text{ MPa}$	$\varepsilon_{cu3} = 3,50$
	$A_c = 0,180 \text{ m}^2$	$\eta = 1,00$	$\lambda = 0,80$
Návrh ohybové výztuže třída tažnosti			
Výztuž	B500 B	$f_{yk} = 500,00 \text{ MPa}$	$\gamma_s = 1,15$
Počet ks na b	6,67 ks	$f_{yd} = 434,78 \text{ MPa}$	$E_s = 200,00 \text{ GPa}$
Průměr výztuže	Ø10	$\varepsilon_{yd} = 2,17$	$\xi_{bal,1} = 0,62$
Krytí výztuže	$c = 40 \text{ mm}$	Plocha výztuže na b	$A_{s,prov} = 524 \cdot 10^{-6} \text{ m}^2$
		$d_1 = 45 \text{ mm}$	$d = 135 \text{ mm}$
Posouzení - MSÚ - Ohyb			
Kontrola vyztužení			
$A_{s1,min} = 176 \cdot 10^{-6} \text{ m}^2$	<	$524 \cdot 10^{-6} \text{ m}^2$	
$A_{s,max} = 7200 \cdot 10^{-6} \text{ m}^2$	>	$524 \cdot 10^{-6} \text{ m}^2$	vyhovuje
Otlačení betonu			
$M_{Rd} = 29,18 \text{ kNm}$	>	$M_d = 2,73 \text{ kNm}$	vyhovuje
Posouzení - MSÚ - Smyk			
Únosnost betonu ve smyku			
$V_{Rd,c} = 69,09 \text{ kN}$	>	$V_d = 9,11 \text{ kN}$	vyhovuje, není nutné vyztužit průřez smykovou výztuží
ohybová výztuž zakotvená za místem smykové síly min. 100mm			

2.12 Návrh a posouzení podzemní stěny

Návrhový přístup 3

Kombinace 1

: A1 + M2 + R3

součinitel zatížení pro stálé zatížení

$$\gamma_{Eg} = 1,35$$

součinitel zatížení pro proměnné zatížení

$$\gamma_{Eq} = 1,50$$

Parametry zeminy

zemina

S5

SC

písek hlinitý nebo jílovitý

$$\varphi_{ud} = \frac{\varphi_{un}}{\gamma_{\varphi}} = \frac{0^{\circ}}{1,25} = 0^{\circ}$$

$$\varphi_{efd} = \frac{\varphi_{efn}}{\gamma_{\varphi}} = \frac{26^{\circ}}{1,25} = 21^{\circ}$$

$$\gamma = 18,5 \text{ kg/m}^3$$

Součinitel zemního tlaku

$$K_o = 1 - \sin \varphi = 1 - \sin 21^{\circ} = 0,64$$

Zatížení stěny

f_1 užité zatížení

2,50

K_o

0,64

γ

1,50

2,42 kN/m²

f_2 zemina

18,50

2,70

0,64

32,21 kN/m²

1,35

43,49 kN/m²

Zatížení nosniku

$h - (v/2)$

h

zat. výška v

γ

g stálé zatížení

32,21

2,20

2,70

1,00

26,25 kN/m

1,35

35,43 kN/m

q užité zatížení

1,61

1,00

1,61 kN/m

1,50

2,42 kN/m

Schéma konstrukce

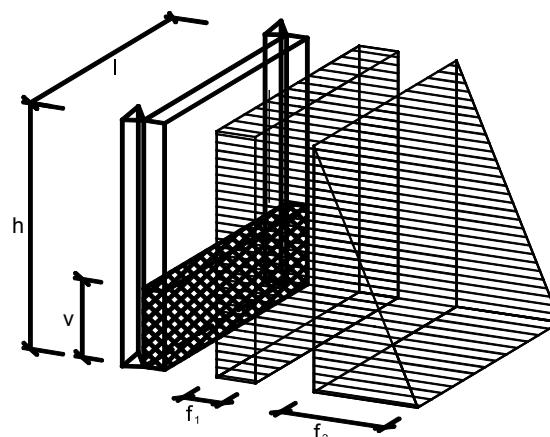
Vodorovně pnutý prostý nosník výšky v od spodní hrany stěny.

Geometrie

$$h = 2,70 \text{ m}$$

$$l = 3,30 \text{ m}$$

$$v = 1,00 \text{ m}$$



Vnitřní síly a reakce

$$M = 1/8 \cdot f \cdot l^2$$

$$M_g = 1/8 \cdot 26,25 \cdot 3,30^2 = 35,73 \text{ kNm} \quad 1,35 = 48,23 \text{ kNm}$$

$$M_q = 1/8 \cdot 1,61 \cdot 3,30^2 = 2,19 \text{ kNm} \quad 1,50 = 3,29 \text{ kNm}$$

celkový moment

$$M_f = 37,92 \text{ kNm} \quad 1,36 = 51,53 \text{ kNm}$$

$$V = 1/2 \cdot f \cdot l$$

$$V_g = 1/2 \cdot 26,25 \cdot 3,30 = 43,31 \text{ kN} \quad 1,35 = 58,47 \text{ kN}$$

$$V_q = 1/2 \cdot 1,61 \cdot 3,30 = 2,66 \text{ kN} \quad 1,50 = 3,99 \text{ kN}$$

celková posouvající síla a reakce

$$V_f = 45,97 \text{ kN} \quad 1,36 = 62,46 \text{ kN}$$

Pružné deformace

$$w_g = \frac{5}{48} \cdot \frac{M_g}{E} \cdot \frac{l^2}{I} = \frac{5}{48} \cdot \frac{35,73}{31,00} \cdot \frac{3,30^2}{1013,92}$$

$$w_g = 1,3 \text{ mm}$$

$$w_q = \frac{5}{48} \cdot \frac{M_q}{E} \cdot \frac{l^2}{I} = \frac{5}{48} \cdot \frac{2,19}{31,00} \cdot \frac{3,30^2}{1013,92}$$

$$w_q = 0,1 \text{ mm}$$

$$w_f = 1,4 \text{ mm}$$

Zatížení

$$M_d = 51,53 \text{ kNm}$$

$$V_d = 62,46 \text{ kN}$$

Návrh průřezu, betonu

Rozměry

$$b = 1,00 \text{ m}$$

$$\gamma_c = 1,50$$

$$h = 0,23 \text{ m}$$

$$\alpha_{cc} = 1,0$$

Beton

$$C25/30$$

$$f_{ck} = 25,00 \text{ MPa}$$

$$E_{cm} = 31,00 \text{ GPa}$$

$$f_{ctm} = 2,60 \text{ MPa}$$

$$f_{cd} = 16,67 \text{ MPa}$$

$$I_c = 1014 \cdot 10^{-6} \text{ m}^4$$

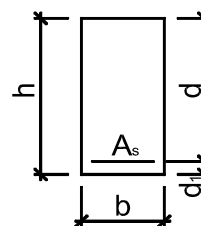
$$f_{cm} = 38,00 \text{ MPa}$$

$$\varepsilon_{cu3} = 3,50$$

$$A_c = 0,230 \text{ m}^2$$

$$\eta = 1,00$$

$$\lambda = 0,80$$



Návrh ohybové výztuže třída tažnosti

Výztuž	B500 B	$f_{yk} = 500,00 \text{ MPa}$	$\gamma_s = 1,15$
Počet ks na b	6,67 ks	$f_{yd} = 434,78 \text{ MPa}$	$E_s = 200,00 \text{ GPa}$
Průměr výztuže	Ø12	$\varepsilon_{yd} = 2,17$	$\xi_{bal,1} = 0,62$
Krytí výztuže	$c = \mathbf{30 \text{ mm}}$	Plocha výztuže na b	$A_{s,prov} = 754 \cdot 10^{-6} \text{ m}^2$
		$d_1 = 36 \text{ mm}$	$d = 194 \text{ mm}$

Posouzení - MSÚ - Ohyb

Kontrola vyztužení

$$A_{s1,min} = 252 \cdot 10^{-6} \text{ m}^2 < 754 \cdot 10^{-6} \text{ m}^2$$

$$A_{s,max} = 9200 \cdot 10^{-6} \text{ m}^2 > 754 \cdot 10^{-6} \text{ m}^2$$

Otlačení betonu

$$M_{Rd} = 60,37 \text{ kNm} > M_d = 51,53 \text{ kNm}$$

vyhovuje

vyhovuje

vyhovuje

Posouzení - MSÚ - Smyk

ohybová výztuž **zakotvená za místem smykové síly min. 100mm**

Únosnost betonu ve smyku

$$V_{Rd,c} = 99,35 \text{ kN} > V_d = 62,46 \text{ kN}$$

vyhovuje, není nutné vyztužit průřez smykovou výztuží

Posouzení - MSP - Deformace

Poměr kvazistalé kombinace k charakteristické kombinaci

$$\frac{G + \psi_2 \cdot Q}{G + Q} = \frac{35,73 + 0,50 \cdot 2,19}{35,73 + 2,19} = 0,97$$

Moment od zatížení kvazistalé kombinace

$$M_{kqp} = 0,97 \cdot M_k$$

$$M_{kqp} = 0,97 \cdot 37,92 = 36,83 \text{ kNm}$$

Průžná deformace od kvazistalé kombinace

$$w_{elqp} = 0,97 \cdot w_{el}$$

$$w_{elqp} = 0,97 \cdot 1,37 = 1,3 \text{ mm}$$

Rozpětí konstrukce

$$l = 3,30 \text{ m}$$

Začátek smršťování (dny)

$$t_{0,s} = 5$$

Prostředí :relativní vlhkost

$$RH = 50\%$$

Vyšetřovaný okamžik (dny)

$$t(25 \text{ let}) = 9125$$

Začátek dotvarování (dny)

$$t_{0,c} = 28$$

Charakter zatížení

$$\beta = 0,50$$

Obvod prvku vystavený okolnímu prostředí

$$u = 2,00 \text{ m}$$

Součinitel dotvarování pro zatížení

$$\phi_c(t, t_0) = \phi_0 \cdot \beta_c(t, t_0) = 2,42 \cdot 0,98 = 2,37$$

Součinitel dotvarování pro smršťování

$$\phi_s(t, t_0) = \phi_0 \cdot \beta_s(t, t_0) = 3,34 \cdot 0,98 = 3,28$$

Celkové poměrné smršťování

$$\varepsilon_{cs} = \varepsilon_{cd}(t) + \varepsilon_{ca}(t) = 0,000472 + 0,000037 = 0,0005094$$

Deformace od dlouhodobého zatížení

Ohybová tuhost betonového průřezu bez výztuže z výpočetního modelu bez uvažování dotvarování

$$E_{cm} \cdot I_c = 31,00 \cdot 1013,92 = 31,43 \text{ MNm}^2$$

Ohybová tuhost betonového průřezu s výztuží s uvažováním dotvarováním

$$E_{c,eff} \cdot I_i = 9,19 \cdot 0,0011095 = 10,20 \text{ MNm}^2$$

$$M_{cr,lt} = 26,29 \text{ kNm}$$

<

$$M_{kqp} = 36,83 \text{ kNm}$$

trhliny se očekávají

Ohybová tuhost průřezu s trhlinami s uvažováním dotvarováním

$$B = E_{c,eff} \cdot I_i \cdot \left(1 - \xi \right) + E_{c,eff} \cdot I_{ir} \cdot \xi$$

$$B = 10,20 \cdot \left(1 - 0,75 \right) + 3,35 \cdot 0,75 = 5,10 \text{ MNm}^2$$

Průžná deformace do vzniku trhlin

$$w_{el,cr} = w_{elqp} \cdot \frac{M_{cr,lt}}{M_{kqp}} = 1,3 \cdot \frac{26,29}{36,83} = 0,9 \text{ mm}$$

Deformace do vzniku trhlin s dotvarováním

$$w_{el,cr,\phi} = w_{el,cr} \cdot \frac{E_{cm} \cdot I_c}{E_{c,eff} \cdot I_i} = 0,9 \cdot \frac{31,43}{10,20} = 2,9 \text{ mm}$$

Průžná deformace po vzniku trhlin

$$w_{el,B} = w_{elqp} - w_{el,cr} = 1,3 - 0,9 = 0,4 \text{ mm}$$

Deformace po vzniku trhlin s dotvarováním

$$w_{el,B,\phi} = w_{el,B} \cdot E_{cm} \cdot I_c / B = 0,38 \cdot 31,43 / 5,10 = 2,3 \text{ mm}$$

$$w_f = w_{el,cr,\phi} + w_{el,B,\phi} = 2,9 + 2,3 = 5,3 \text{ mm}$$

Deformace od smršťování

$$k = 0,089$$

$$w_{cs} = k \cdot 1/r_{cs} \cdot l^2 = 0,089 \cdot 0,00240 \cdot 3,30^2 = 2,3 \text{ mm}$$

Celková deformace od dlouhodobého zatížení a smršťování

$$w_{lim} = l / 250 = 3,30 / 250$$

$$w_{cel} = w_f + w_{cs} = 5,3 + 2,3$$

$$w_{cel} = 7,6 \text{ mm} < w_{lim} = 13,2 \text{ mm} \quad \text{vyhovuje}$$

Posouzení - MSP - Omezení napětí

Kontrola napětí v betonu

$$\sigma_c = M_k \cdot x / I_{ir} = 36,83 \cdot 0,0650 / 0,000364$$

$$\sigma_c = 6,57 \text{ MPa} < 0,45 \cdot f_{ck} = 0,45 \cdot 25,00 = 11,25 \text{ MPa}$$

vyhovuje

Kontrola napětí ve výztuži

$$\sigma_x = \alpha_e \cdot M_k \cdot (d - x) / I_{ir}$$

$$\sigma_x = 21,75 \cdot 36,83 \cdot 0,129 / 0,000364$$

$$\sigma_x = 283,44 \text{ MPa} < 0,8 \cdot f_{yk} = 0,8 \cdot 500,00 = 400,00 \text{ MPa}$$

vyhovuje

Posouzení - MSP - Trhliny

Moment od celkového zatížení

$$M_k = 37,92 \text{ kNm}$$

$$M_{cr,lt} = 23,78 \text{ kNm}$$

<

$$M_k = 37,92 \text{ kNm}$$

trhliny se očekávají

$$w_k = 0,25 \text{ mm}$$

<

$$w_{lim} = 0,30 \text{ mm}$$

šířka trhliny vyhovuje

2.13 Zatížení železobetonovou stěnou

Skladba stěny

	tloušťka	objemová tíha	charakteristické	γ_G	návrhové
izolace	0,160	1,50	= 0,24 kN/m ²	1,35	0,32 kN/m ²
tíha stěny	0,230	25,00	= 5,75 kN/m ²	1,35	7,76 kN/m ²
omítka	0,020	18,00	= 0,36 kN/m ²	1,35	0,49 kN/m ²

g zatížení na m² stěny

$$6,35 \text{ kN/m}^2$$

$$1,35$$

$$8,57 \text{ kN/m}^2$$

2.14 Návrh a posouzení základové desky

Zatížení

Kombinace zatížení jako méně příznivá kombinace z následujících dvou výrazů

$$\gamma_G = 1,35$$

$$\gamma_Q = 1,50$$

$$\Psi_{0,1} = 0,70$$

$$\xi_1 = 0,85$$

Kombinace 1

$$\gamma_Q \cdot \Psi_{0,1} = 1,50 \cdot 0,70 = 1,05$$

délka poloviny stěny

γ_G

reakce z konzolového trámu od stálého zat.

$$76,39 / 1,60 = 47,75 \text{ kN/m}$$

zat. šířka nebo výška

stálé zatížení střechy

$$1,62 \cdot 2,80 = 4,53 \text{ kN/m}$$

stálé zatížení z desky

$$5,05 \cdot 1,10 = 5,56 \text{ kN/m}$$

tíha podzemní stěny

$$6,35 \cdot 4,50 = 28,58 \text{ kN/m}$$

g₁ stálé zatížení

$$86,40 \text{ kN/m}$$

$$1,35$$

$$116,64 \text{ kN/m}$$

$$\gamma_Q \cdot \Psi_{0,1}$$

reakce z konzolového trámu od proměnn. zat.

$$8,39 / 1,60 = 5,24 \text{ kN/m}$$

proměnné zatížení střechy

$$0,75 \cdot 2,80 = 2,10 \text{ kN/m}$$

proměnné zatížení z desky

$$2,50 \cdot 1,10 = 2,75 \text{ kN/m}$$

q₁ proměnné zatížení

$$10,09 \text{ kN/m}$$

$$1,05$$

$$10,60 \text{ kN/m}$$

f₁ celkové zatížení

$$96,50 \text{ kN/m}$$

$$1,32$$

$$127,24 \text{ kN/m}$$

Kombinace 2	$\xi_1 \cdot \gamma_G = 0,85 \cdot 1,35 = 1,15$	
		$\xi_1 \cdot \gamma_G$
g₂ stálé zatížení	86,40 kN/m	1,15 99,15 kN/m
		γ_Q
q₂ proměnné zatížení	10,09 kN/m	1,50 15,14 kN/m
f₂ celkové zatížení	96,50 kN/m	1,18 114,29 kN/m
Rozhodující kombinace:	kombinace 1	F_{max} = 127,24 kN/m
Charakteristika podloží		
modul stlačitelnosti podloží	C = 30,00 MN/m ³ zemina nebo jíl (vlhký)	
Návrh průřezu a betonu		
šířka desky	b = 1,00 m	
tloušťka desky	h = 0,28 m	
beton	C25/ 30 E _{cm} = 31,00 GPa	
moment setrvačnosti desky	I = 1/12 · b · h ³ = 1/12 · 1,00 · 0,28 ³ = 0,0018 m ⁴	

Vnitřní síly a deformace

$$k = \frac{C \cdot b}{4 \cdot E \cdot I} = \frac{30,00 \cdot 1,00}{4 \cdot 31,00 \cdot 0,0018} = 30,00 \text{ MPa}$$

$$r = \left(\frac{4 \cdot E \cdot I}{k} \right)^{1/4} = \left(\frac{4 \cdot 31,00 \cdot 0,0018}{30,00} \right)^{1/4} = 1,66 \text{ m}$$

$$\varphi = y / r$$

Moment

$$M_d = -F \cdot r \cdot e^{-\varphi} \cdot \sin \varphi$$

Posouvající síla

$$Q_d = -F \cdot e^{-\varphi} \cdot (\cos \varphi - \sin \varphi)$$

Rovnice ohybové čáry (deformace)

$$v = \frac{2 \cdot F \cdot e^{-\varphi} \cdot \cos \varphi}{k \cdot r}$$

Napětí v základové spáře

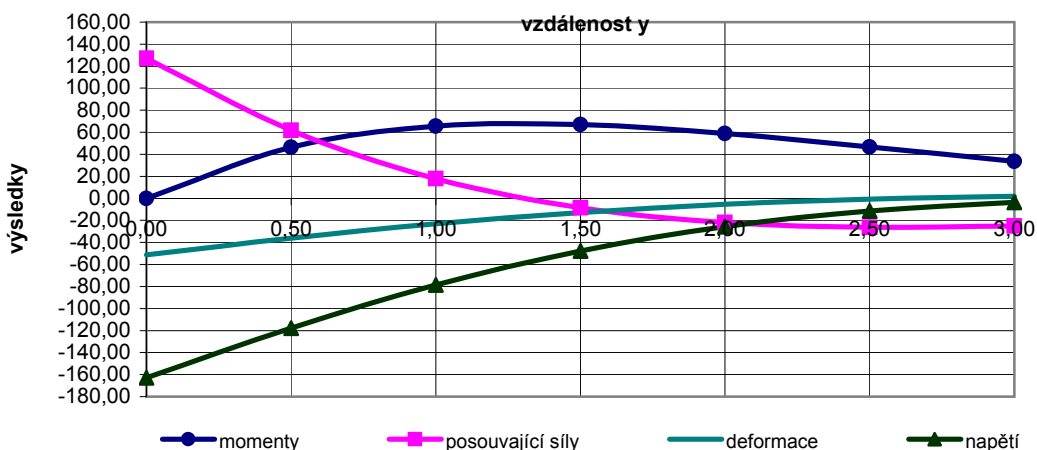
$$p = C \cdot v - 25 \cdot 1,35 \cdot h$$

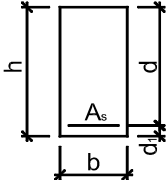
Tabulka grafu

hustota grafu

0,50 m

y	φ	M_d	Q_d	v	p
m		kNm	kN	$10^{-1} \cdot \text{mm}$	kPa
0,00	0,00	0,00	127,24	-51,16	-162,92
0,50	0,30	46,35	61,92	-36,13	-117,85
1,00	0,60	65,48	17,85	-23,05	-78,61
1,50	0,90	67,13	-8,66	-12,80	-47,84
2,00	1,21	59,01	-22,00	-5,46	-25,84
2,50	1,51	46,63	-26,34	-0,72	-11,60
3,00	1,81	33,58	-25,17	1,98	-3,52



Zatížení	$M_d = 67,13 \text{ kNm}$	$V_d = 127,24 \text{ kN}$	
Návrh průřezu, betonu			
Rozměry	$b = 1,00 \text{ m}$ $h = 0,28 \text{ m}$	$\gamma_c = 1,50$ $\alpha_{cc} = 1,0$	
Beton	C25/ 30	$f_{ck} = 25,00 \text{ MPa}$	
	$E_{cm} = 31,00 \text{ GPa}$ $I_c = 1829 \cdot 10^{-6} \text{ m}^4$ $A_c = 0,280 \text{ m}^2$	$f_{ctm} = 2,60 \text{ MPa}$ $f_{cm} = 38,00 \text{ MPa}$ $\eta = 1,00$	
		$f_{cd} = 16,67 \text{ MPa}$ $\varepsilon_{cu3} = 3,50$ $\lambda = 0,80$	
Návrh ohybové výztuže			
Výztuž	B500 B	$f_{yk} = 500,00 \text{ MPa}$	$\gamma_s = 1,15$
Počet ks na b	6,67 ks	$f_{yd} = 434,78 \text{ MPa}$	$E_s = 200,00 \text{ GPa}$
Průměr výztuže	Ø16	$\varepsilon_{yd} = 2,17$	$\xi_{bal,1} = 0,62$
Krytí výztuže	$c = 40 \text{ mm}$	Plocha výztuže na b $d_1 = 48 \text{ mm}$	$A_{s,prov} = 1340 \cdot 10^{-6} \text{ m}^2$ $d = 232 \text{ mm}$
Posouzení - MSÚ - Ohyb			
Kontrola vyztužení			
$A_{s1,min} = 302 \cdot 10^{-6} \text{ m}^2$	<	$1340 \cdot 10^{-6} \text{ m}^2$	
$A_{s,max} = 11200 \cdot 10^{-6} \text{ m}^2$	>	$1340 \cdot 10^{-6} \text{ m}^2$	vyhovuje
Otlačení betonu			
$M_{Rd} = 125,02 \text{ kNm}$	>	$M_d = 67,13 \text{ kNm}$	vyhovuje
Posouzení - MSÚ - Smyk			
ohybová výztuž zakotvená za místem smykové síly min. 100mm			
Únosnost betonu ve smyku			
$V_{Rd,c} = 130,75 \text{ kN}$	>	$V_d = 127,24 \text{ kN}$	vyhovuje, není nutné vyztužit průřez smykovou výztuží
Posouzení - MSP - Omezení napětí			
Poměr kvazistalé kombinace k charakteristické kombinaci			
$G + \psi_2 \cdot Q$	=	$86,40 + 0,50 \cdot 10,09$	
$G + Q$	=	$86,40 + 10,09$	
Moment od charakteristické kombinace			
$M_k = M_d / \gamma$			
$M_k = 67,13 / 1,32$	=	50,91 kNm	
Moment od zatížení kvazistalé kombinace			
$M_{kqp} = 0,95 \cdot M_k$			
$M_{kqp} = 0,95 \cdot 50,91$	=	48,25 kNm	
Kontrola napětí v betonu			
$\sigma_c = M_k \cdot x / I_{ir}$	=	$48,25 \cdot 0,0910 / 0,000834$	
$\sigma_c = 5,26 \text{ MPa}$	<	$0,45 \cdot f_{ck} = 0,45 \cdot 25,00$	= 11,25 MPa vyhovuje
Kontrola napětí ve výztuži			
$\sigma_x = \alpha_e \cdot M_k \cdot (d - x) / I_{ir}$			
$\sigma_x = 21,88 \cdot 48,25 \cdot 0,141 / 0,000834$			
$\sigma_x = 178,48 \text{ MPa}$	<	$0,8 \cdot f_{yk} = 0,8 \cdot 500,00$	= 400,00 MPa vyhovuje
Posouzení - MSP - Trhliny			
Moment od celkového zatížení			
$M_{cr,lt} = 35,69 \text{ kNm}$	<	$M_k = 50,91 \text{ kNm}$	trhliny se očekávají
$w_k = 0,16 \text{ mm}$	<	$w_{lim} = 0,30 \text{ mm}$	šířka trhliny vyhovuje

2.15 Stanovení minimální únosnosti zeminy v základové spáře

	zatížení z horní stavby	odhad tíhy podlahy vč. užitného zatížení
napětí v základové spáře	162,92	+ 15,00 = 177,92 kPa
minimální požadovaná únosnost	180,00 kPa	

2.16 Návrh a posouzení excentrického uložení zděné stěny

Geometrie vycházející z předpokladu, že zatížení nesmí vystoupit z jádra průřezu uložení:

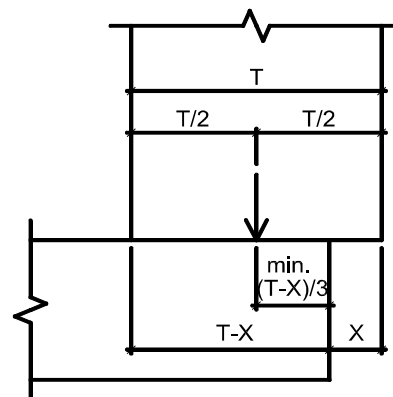
$$\frac{T}{2} - X \geq \frac{T}{3} - X$$

$$X \leq \frac{T}{4}$$

Tloušťka stěny $T = 250 \text{ mm}$ $T/4 = 63 \text{ mm}$

Vyložení stěny $X = 20 \text{ mm}$

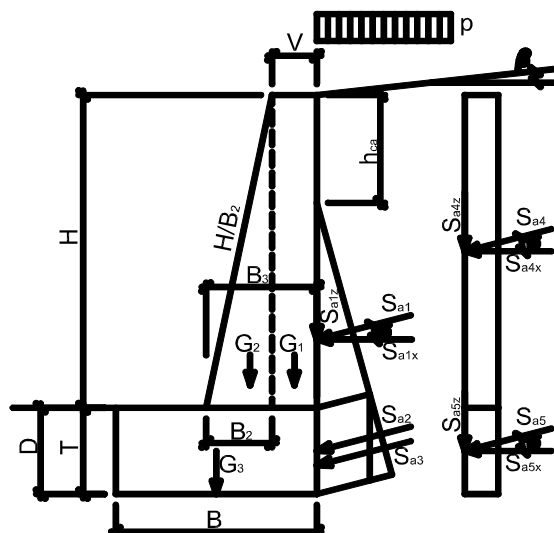
Posouzení $20 \text{ mm} \leq 63 \text{ mm}$
 vyhovuje, excentricita nevystoupí z jádra průřezu



3. Návrh a posouzení opěrné stěny

Návrh geometrie stěny

výška stěny	H =	1,70 m
tloušťka stěny	V =	0,70 m
šířka základu	B =	1,25 m
výška základu	T =	0,80 m
hloubka založení	D =	0,80 m
délka základu	L =	4,30 m
sklon terénu	β =	0°
sklon základu	α =	0°
tloušťka	B ₂ =	0,55 m
tloušťka	B ₃ =	1,25 m



součinitel tření v pracovní spáře μ = 0,60

Návrhový přístup 1

Kombinace 2 : A2 + M2 + R1

Užitné zatížení na povrchu p_d = 1,5 kN/m² · 1,30 = 1,95 kN/m²

Objemová tíha betonu $\gamma_{b,d}$ = 23 kN/m³ · 1,00 = 23,00 kN/m³

Parametry zásypu zemina S4 SM písek hlinitý nebo jílovitý

typ zeminy nesoudržná

$$\varphi_d = \frac{\varphi_n}{\gamma_\varphi} = \frac{28^\circ}{1,25} = 22,40^\circ$$

$$c_d = \frac{c_n}{\gamma_c} = \frac{0 \text{ kPa}}{1,25} = 0,00 \text{ kPa}$$

$$\text{úhel tření na rubu stěny } \delta_d = \frac{1}{2} \cdot 22,40^\circ = 11,20^\circ$$

$$\gamma_d = 18,0 \text{ kg/m}^3 \cdot 1,00 = 18,00 \text{ kg/m}^3$$

součinitel aktivního zemního tlaku

$$K_a = 0,41$$

hloubka, do které zemina nepůsobí tlakem u soudružných zemín

$$h_{ca1} = \frac{2 \cdot c}{\gamma \cdot K_a^{1/2}} = \frac{2 \cdot 0,00}{18,00 \cdot 0,41^{1/2}} = 0,00 \text{ m}$$

$$h_{ca2} = H = 1,70 \text{ m}$$

$$\min h_{ca} = 0,00 \text{ m}$$

Výslednice zemního tlaku na bm na rubu stěny

$$S_{a1} = \frac{1}{2} \cdot \gamma_d \cdot (H - h_{ca})^2 \cdot K_a$$

$$S_{a1} = \frac{1}{2} \cdot 18,00 \cdot (1,70 - 0,00)^2 \cdot 0,41 = 10,58 \text{ kN/m}$$

$$S_{a1x} = S_{a1} \cdot \cos \delta = 10,58 \cdot \cos 11,20^\circ = 10,38 \text{ kN/m}$$

$$S_{a1z} = S_{a1} \cdot \sin \delta = 10,58 \cdot \sin 11,20^\circ = 2,05 \text{ kN/m}$$

Výslednice zemního tlaku na bm na rubu základu

$$S_{a2} = \gamma_d \cdot (H - h_{ca}) \cdot K_a \cdot T$$

$$S_{a2} = 18,00 \cdot (1,70 - 0,00) \cdot 0,41 \cdot 0,80 = 9,96 \text{ kN/m}$$

$$S_{a2x} = S_{a2} \cdot \cos \delta = 9,96 \cdot \cos 11,20^\circ = 9,77 \text{ kN/m}$$

$$S_{a2z} = S_{a2} \cdot \sin \delta = 9,96 \cdot \sin 11,20^\circ = 1,93 \text{ kN/m}$$

$$S_{a3} = \frac{1}{2} \cdot \gamma_d \cdot T^2 \cdot K_a$$

$$S_{a3} = \frac{1}{2} \cdot 18,00 \cdot 0,80^2 \cdot 0,41 = 2,34 \text{ kN/m}$$

$$S_{a3x} = S_{a3} \cdot \cos \delta = 2,34 \cdot \cos 11,20^\circ = 2,30 \text{ kN/m}$$

$$S_{a3z} = S_{a3} \cdot \sin \delta = 2,34 \cdot \sin 11,20^\circ = 0,46 \text{ kN/m}$$

Výslednice zemního tlaku od užitého zatížení na povrchu na bm stěny na rubu stěny

$$S_{a4} = p_d \cdot H \cdot K_a = 1,95 \cdot 1,70 \cdot 0,41 = 1,35 \text{ kN/m}$$

$$S_{a4x} = S_{a4} \cdot \cos \delta = 1,35 \cdot \cos 11,20^\circ = 1,32 \text{ kN/m}$$

$$S_{a4z} = S_{a4} \cdot \sin \delta = 1,35 \cdot \sin 11,20^\circ = 0,26 \text{ kN/m}$$

Výslednice zemního tlaku od užitého zatížení na povrchu na bm stěny na rubu základu

$$\begin{aligned} S_{a5} &= p_d \cdot T \cdot K_a = 1,95 \cdot 0,80 \cdot 0,41 = 0,63 \text{ kN/m} \\ S_{a5x} &= S_{a5} \cdot \cos \delta = 0,63 \cdot \cos 11,20^\circ = 0,62 \text{ kN/m} \\ S_{a5z} &= S_{a5} \cdot \sin \delta = 0,63 \cdot \sin 11,20^\circ = 0,12 \text{ kN/m} \end{aligned}$$

Vlastní tíhy stěny

$$\begin{aligned} G_1 &= V \cdot H \cdot \gamma_{b,d} = 0,70 \cdot 1,70 \cdot 23,00 = 27,37 \text{ kN/m} \\ G_2 &= 1/2 \cdot B_2 \cdot H \cdot \gamma_{b,d} \\ G_2 &= 1/2 \cdot 0,55 \cdot 1,70 \cdot 23,00 = 10,75 \text{ kN/m} \\ G_3 &= B \cdot T \cdot \gamma_{b,d} = 1,25 \cdot 0,80 \cdot 23,00 = 23,00 \text{ kN/m} \end{aligned}$$

Posouzení stability v pracovní spáře

$S_{a1z} = 2,05 \text{ kN/m}$	$M_{a1x} = -10,38 \cdot 0,57 = -5,88 \text{ kN}$
$S_{a4z} = 0,26 \text{ kN/m}$	$M_{a1z} = 2,05 \cdot 0,63 = 1,28 \text{ kN}$
$G_1 = 27,37 \text{ kN/m}$	$M_{a4x} = -1,32 \cdot 0,57 = -0,75 \text{ kN}$
$G_2 = 10,75 \text{ kN/m}$	$M_{a4z} = 0,26 \cdot 0,63 = 0,16 \text{ kN}$
celková svislá síla $V_1 = 40,44 \text{ kN/m}$	$M_{G1} = 27,37 \cdot 0,28 = 7,53 \text{ kN}$
$S_{a1x} = 10,38 \text{ kN/m}$	$M_{G2} = 10,75 \cdot -0,26 = -2,78 \text{ kN}$
$S_{a4x} = 1,32 \text{ kN/m}$	
celková vodor. síla $H_1 = 11,70 \text{ kN/m}$	celk. moment ke středu prac. spáry $M_1 = -0,43 \text{ kN}$

Excentricita stěny - podmínka celé tlačené spáry

$$\begin{aligned} e_{1abs} &= M_1 / V_1 = -0,43 / 40,44 \\ e_{1abs} &= 0,01 \text{ m} < 1/6 \cdot B_3 = 1/6 \cdot 1,25 = 0,21 \text{ m} \quad \text{vyhovuje} \end{aligned}$$

Posunutí stěny

$$H_1 = 11,70 \text{ kN/m} < \mu \cdot V_1 = 0,60 \cdot 40,44 = 24,26 \text{ kN/m} \quad \text{vyhovuje}$$

Posouzení v základové spáře

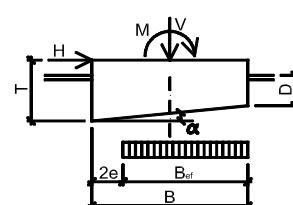
$S_{a1z} = 2,05 \text{ kN/m}$	$M_{a1x} = -10,38 \cdot 1,37 = -14,18 \text{ kN}$
$S_{a2z} = 1,93 \text{ kN/m}$	$M_{a1z} = 2,05 \cdot 0,63 = 1,28 \text{ kN}$
$S_{a3z} = 0,46 \text{ kN/m}$	$M_{a2x} = -9,77 \cdot 0,40 = -3,91 \text{ kN}$
$S_{a4z} = 0,26 \text{ kN/m}$	$M_{a2z} = 1,93 \cdot 0,63 = 1,21 \text{ kN}$
$S_{a5z} = 0,12 \text{ kN/m}$	$M_{a3x} = -2,30 \cdot 0,27 = -0,61 \text{ kN}$
$G_1 = 27,37 \text{ kN/m}$	$M_{a3z} = 0,46 \cdot 0,63 = 0,28 \text{ kN}$
$G_1 = 10,75 \text{ kN/m}$	$M_{a4x} = -1,32 \cdot 1,65 = -2,18 \text{ kN}$
$G_3 = 23,00 \text{ kN/m}$	$M_{a4z} = 0,26 \cdot 0,63 = 0,16 \text{ kN}$
celková svislá síla $V_2 = 65,95 \text{ kN/m}$	$M_{a5x} = -0,62 \cdot 0,40 = -0,25 \text{ kN}$
$S_{a1x} = 10,38 \text{ kN/m}$	$M_{a5z} = 0,12 \cdot 0,63 = 0,08 \text{ kN}$
$S_{a2x} = 9,77 \text{ kN/m}$	$M_{G1} = 27,37 \cdot 0,28 = 7,53 \text{ kN}$
$S_{a3x} = 2,30 \text{ kN/m}$	$M_{G2} = 10,75 \cdot -0,26 = -2,78 \text{ kN}$
$S_{a4x} = 1,32 \text{ kN/m}$	
$S_{a5x} = 0,12 \text{ kN/m}$	celk. moment ke středu zákl. spáry $M_2 = -13,37 \text{ kN}$
celková vodor. síla $H_2 = 23,89 \text{ kN/m}$	

Excentricita základu - podmínka celé tlačené spáry

$$\begin{aligned} e_{2abs} &= M_2 / V_2 = -13,37 / 65,95 \\ e_{2abs} &= 0,20 \text{ m} < 1/6 \cdot B = 1/6 \cdot 1,25 = 0,21 \text{ m} \quad \text{vyhovuje} \end{aligned}$$

Efektivní plocha

$$\begin{aligned} B_{ef} &= B - 2 \cdot e = 1,25 - 2 \cdot 0,20 = 0,84 \text{ m} \\ A_{ef} &= 0,84 \text{ m}^2 \end{aligned}$$



Parametry základové půdy	zemina	F4 pevná	CS	jemnozrnná zemina písčítá
$\varphi_{ud} = \frac{\varphi_{un}}{\gamma_{\varphi}} = \frac{5^{\circ}}{1,25} = 4,00^{\circ}$				$c_{ud} = \frac{c_u}{\gamma_c} = \frac{70 \text{ kPa}}{1,25} = 56,00 \text{ kPa}$
$\varphi_{efd} = \frac{\varphi_{efn}}{\gamma_{\varphi}} = \frac{22^{\circ}}{1,25} = 17,60^{\circ}$				$c_{efd} = \frac{c_{ef}}{\gamma_c} = \frac{14 \text{ kPa}}{1,25} = 11,20 \text{ kPa}$
$\gamma = 18,5 \text{ kg/m}^3$				
Kontrola stability proti posunutí				
$V_q \cdot \tan \varphi$	+	$c \cdot A_{ef}$		
65,95 · tg 17,60°	+	11,20 · 0,84	= 30,38 kN	> $H_q = 23,89 \text{ kN}$ vyhovuje
Posouzení základu na únosnost - dlouhodobá únosnost - odvozené podmínky				
$R/A =$	$c \cdot N_c$	$\cdot b_c$	$\cdot s_c$	$\cdot i_c$
+	$q \cdot N_q$	$\cdot b_q$	$\cdot s_q$	$\cdot i_q$
+	$0,5 \cdot \gamma$	$\cdot B_{ef}$	$\cdot N_{\gamma}$	$\cdot b_{\gamma} \cdot s_{\gamma} \cdot i_{\gamma}$
$R/A =$	11,20	12,79	1,00	1,07
+	14,80	5,06	1,00	1,06
+	0,5	18,50	0,84	2,57
$R/A = 130,5 \text{ kPa}$				1,00
$\frac{R/A}{\gamma_R} = \frac{130,53}{1,00} = 130,5 \text{ kPa}$			$\frac{V_q}{A_{ef}} = \frac{65,95}{0,84} = 78,1 \text{ kPa}$	vyhovuje